

7
621.38
M722
e.3

ESCUELA SUPERIOR POLITECNICA DEL
LITORAL

[Signature] 6/7/03



DISEÑO DE UN SISTEMA DE MICROONDAS PARA TELEFONIA

EN LA

LA

PENINSULA DE SANTA ELENA

TESIS DE GRADO

QUE PARA OBTENER EL TITULO DE:

INGENIERO ELECTRONICO

PRESENTA:

Luis Alfredo Molina Salazar

GUAYAQUIL - ECUADOR

:-1976-:

Declaro que: "Hechos, ideas y doctrinas expuestas en esta Tesis de Grado son de mi exclusiva responsabilidad y que el patrimonio intelectual de la misma, corresponde a la Escuela Superior Politécnica del Litoral" .

(REGLAMENTOS EXAMENES Y TITULOS PROFESIONALES DE LA E.S.P.O.L)

LUIS ALFREDO MOLINA S.

A mi MADRE y HERMANA, como expresión de
los sentimientos más grandes de cariño
y respeto.

A mi Esposa SUSANA y a mi Hijo ALFREDO
con todo amor.

Mi reconocimiento a la ESCUELA SUPERIOR POLITECNICA
DEL LITORAL y sus dignos profesores.



Al Dr. VICTOR MANDINI como nuestra de mi
imperecedera gratitud por su valiosa ayu
da académica en el desarrollo de esta Te
sis.

AL INSTITUTO ECUATORIANO DE TELECOMUNICACIONES

por el apoyo prestado en la realiz
zación del presente trabajo

T I T U L O D E T E S I S

DISEÑO DE UN SISTEMA DE MICROONDAS PARA TELEFONIA

EN LA

PENINSULA DE SANTA ELENA

Director de Tesis

.....
Dr. Victor Mandini C.

Autor

.....
Luis Alfredo Molina S.

C O N T E N I D O

CAPITULO	1	Introducción
	1.1	Estudio de tráfico
	1.2	Selección de sitios y geografía de la ruta
	1.3	Plan de frecuencia
CAPITULO	2	Previsiones de propagación troposférica
	2.1	Perfiles en los trayectos de propagación
	2.2	Elipsoides de Fresnel. Generalidades y Cálculo
	2.3	Puntos de reflexión. Generalidades y Cálculo
CAPITULO	3	Tramos de radio-enlace
	3.1	Distribución de la atenuación en el tramo
	3.2	Cálculo de la atenuación por espacio libre y pérdidas en las líneas de alimentación de las antenas y filtros.
	3.3	Determinación de las ganancias requeridas de las antenas y cálculo de la potencia de recepción
CAPITULO	4	Estimación de la calidad del enlace de microondas
	4.1	Generalidades
	4.2	Valor objetivo del ruido
	4.3	Determinación del cociente señal-ruido en los receptores para un tiempo sin desvanecimiento
	4.4	Distribución de los ruidos y elaboración del balance de ruido en el radio-enlace y en un canal superior
	4.5	Nivel de umbral y diagrama de niveles
		Apéndices
		Bibliografía.

1.2 SELECCION DE SITIOS Y GEOGRAFIA DE LA RUTA

Es un trabajo importante en la planificación de un enlace de microondas seleccionar la ubicación de las estaciones repetidoras y terminales.

Los sitios de las estaciones, son decididos considerando no solo las cacterísticas de transmisión, sino la fácil construcción, servicios, mantenimiento y planes futuros.

Debemos tomar en consideración los sitios que han sido determinados por el actual sistema de radio enlace. El actual sistema de radio enlace de la Península de Santa Elena, cuenta con dos estaciones terminales, localizadas una en Guayaquil, y la otra en Salinas, y una estación repetidora que se encuentra a la altura del kilómetro 75 vía Guayaquil - Salinas, de ahí a 12,5 kilómetros por medio de un camino de herradura hasta la estación repetidora del Cerro de Animas.

En cuanto a las comunicaciones con Playas, éstas son llevadas a cabo de una derivación hecha en la estación repetidora del Cerro de Animas.

Como es lógico pensar, podemos descartar lo que corresponde a construcciones, mantenimiento y planes futuros de las estaciones, por cuanto las que se encuentran en la actualidad lo tiene previsto.

Es decir, que solo hemos considerado lo que corresponde a las características de transmisión, ya que hay mayor restricción en microondas que en V.H.F.

El estudio de las características de transmisión son llevadas a cabo en los próximos capítulos, en donde las consideraciones hechas se basan en estudios teóricos de propagación, ya que las pruebas de propagación no han sido posibles por no disponer de equipos necesarios y por lo costoso de éstos.

Un diagrama a escala de la geografía de la ruta es mostrado en la siguiente página.

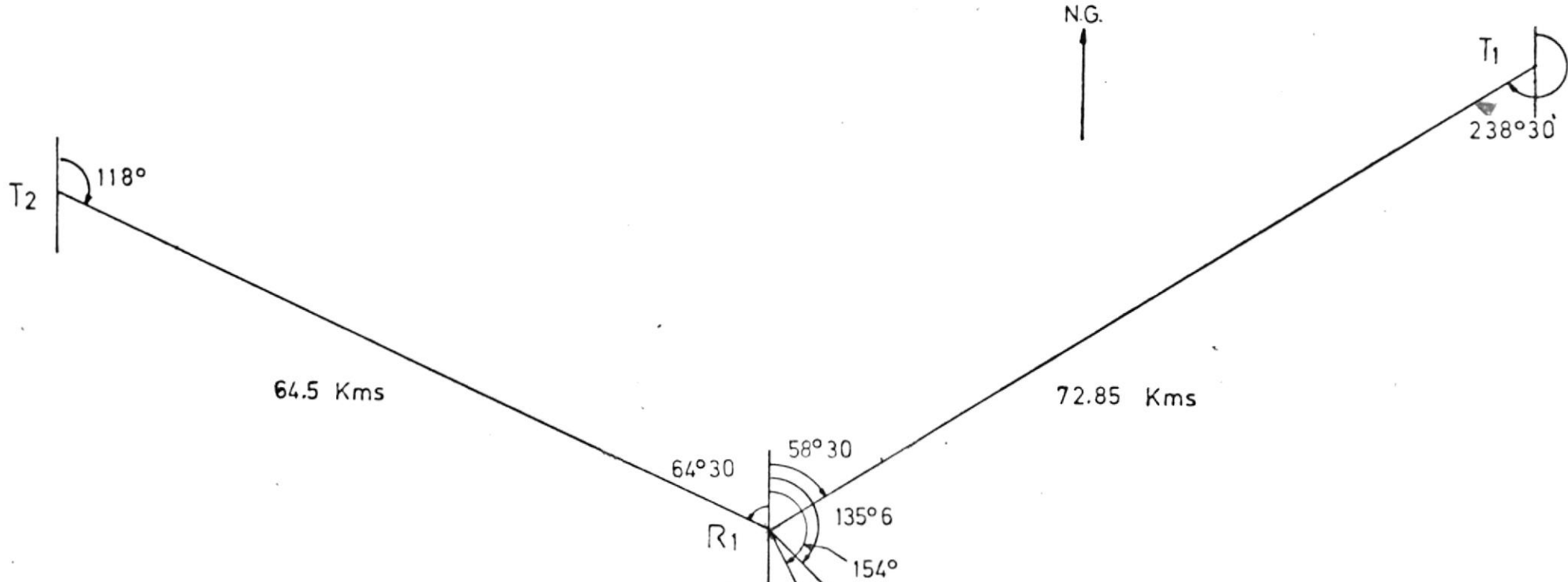


DIAGRAMA DE RUTA Escala 1:500

ESTACION	UBICACION	ALTITUD
T1 Guayaquil	2° 10' 37,5" LS 79° 52' 40,8" LO	100 mts
R1C. de Animas	2° 28' 15,6" LS 80° 27' 55,2" LO	420 mts
T2 Salinas	2° 11' 53,3" LS 80° 58' 42" LO	0 mts
T3 Playas	2° 37' 52,3" LS 80° 23' 28,4" LO	2 mts
T4 Posorja	2° 42' 20,4" LS 80° 14' 24,6" LO	0 mts

1.3 PLAN DE FRECUENCIA

En los sistemas de radio - enlace, los varios circuitos de radio son ais lados uno de otro, ya sea usando diferentes frecuencias de radio o cuando se usa la misma frecuencia de radio por una discriminación apropiada de la antena o/y aislación topográfica.

Dado que en soluciones técnicas normales, no se puede alcanzar condicio nes ideales, una cierta cantidad de energía no deseada de transmisión de radio vecinos, podría interferir con la señal requerida en la entrada del receptor.

Es por esto, que para el planeamiento de un sistema de radio - enlace se debe seleccionar las frecuencias de radio y los tipos de antena en tal forma que la potencia de una señal indeseable tenga un valor despreciable en el receptor.

Como las frecuencias de radio no son disponibles en un número infinito el objeto principal del planeamiento de frecuencia es seleccionar las frecuen cias de transmisión de una manera económica, es decir ocupando dentro del espectro radioeléctrico el menor espacio posible.

Con el fin de facilitar el planeamiento de frecuencias, el CCIR; ha emiti do recomendaciones para el planeamiento de frecuencias en Sistemas de ra

dio - enlace que operan en el campo de las microondas

Para nuestro estudio utilizamos la recomendación # 279-1 dada por el CCIR respecto a la disposición de canales radioeléctricos de los sistemas con una capacidad de 300 canales, que trabajan en la banda de 4Ghz.

La recomendación nos dice:

- 1.- Que la disposición preferida de los canales radioeléctricos para varios sistemas que trabajan en la banda de 4Ghz, cada uno de ellos con una capacidad de 300/1800 canales telefónicos ha quedado establecida según diagrama # 1.3a. ✓
- 2.- Que una sección utilizada para una interconexión internacional todos los canales de ida estén situados en una de las mitades de la banda y todos los canales de retorno en la otra mitad. ✓
- 3.- Que para canales radioeléctricos adyacentes de una misma mitad de banda se utilice alternativamente la polarización horizontal y vertical. ✓
- 4.- Que para interconexiones internacionales, el valor de la frecuencia central sea de preferencia.

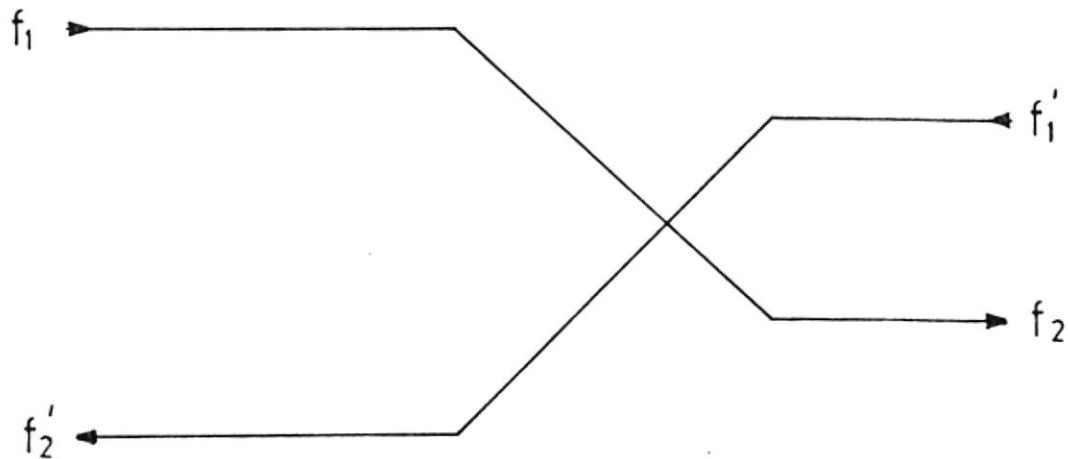
$$f_0 = 4.003,5 \text{ Mhz}$$

que corresponde a la banda 3803,5Mhz - 4203,5 Mhz pero, que previo a

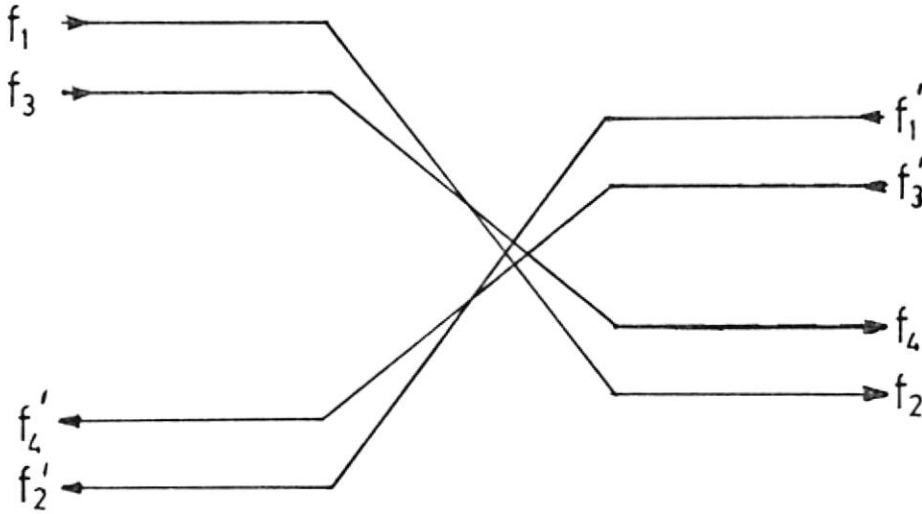
cuerdo entre administraciones internacionales, puedan adaptarse otros valores. En lo que respecta a la asignación de los canales radioeléctricos empleamos para nuestro estudio el plan de cuatro frecuencias, es decir que una estación repetidora estará conformada por cuatro frecuencias diferentes, dos entrantes y dos salientes, como indica la figura #1.3.b.

FIGURA # 1.3.b

PLAN DE CUATRO FRECUENCIAS



Como para aumentar la seguridad en el sistema de radio-enlace disponemos de un canal radioeléctrico como reserva, tendremos:



En el diagrama # 1.3.a, indicamos los canales radioelctricos escogidos en donde:

$$f_1 = 3.824,5 \text{ Mhz}$$

$$f_2 = 4.037,5 \text{ Mhz}$$

$$f_3 = 3.853,5 \text{ Mhz}$$

$$f_4 = 4.066,5 \text{ Mhz}$$

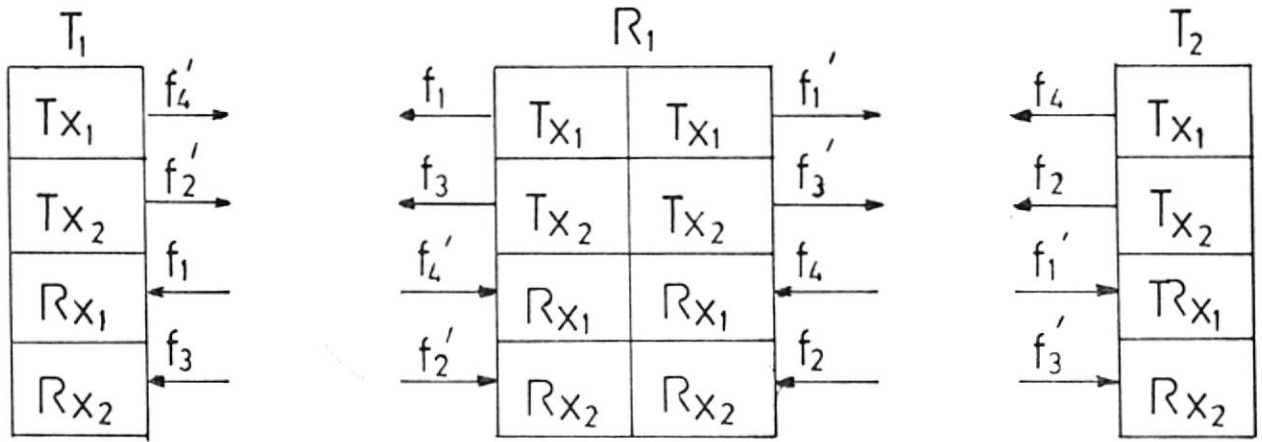
$$f'_1 = 3.882,5 \text{ Mhz}$$

$$\times f'_2 = 4.095,5 \text{ Mhz}$$

$$f'_3 = 3.911,5 \text{ Mhz}$$

$$\times f'_4 = 4.124,5 \text{ Mhz}$$

quedando establecido de la siguiente forma:



- T_1 Guayaquil
- R_1 Cerro de Animas
- T_2 Salinas

El estudio se lo realiza en la banda de 4 Ghz, pero como en la estación Cerro de Animas habrá derivaciones para Playas y Posorja, y como se dió a conocer por el estudio de tráfico (ver capítulo 1 #1.1) que estas poblaciones tienen menor capacidad de canales telefónicos que no justifican que sus sistemas operen en el campo de las microondas, sino bien pueden trabajar en la banda UHF o VHF.

Por consiguiente este trabajo contempla, además de los diagramas de perfiles de los tramos de radio: Playas - Cerro de Animas y Posorja - Cerro de Animas, los cálculos correspondientes a las Elipsoides de Fresnel, con el fin de dar a conocer la posibilidad de la derivación y con ello la utilidad de la estación Cerro de Animas.

Los cálculos de los Elipsoides de Fresnel de los dos tramos mencionados se lo efectúa con la frecuencia de 400 Mhz que corresponde a la banda UHF.

C A P I T U L O N º 2

- 2 Previsiones de propagación troposférica
- 2.1. Perfiles en los trayectos de propagación
- 2.2. Elipsoides de Fresnel. Generalidades y cálculo
- 2.3. Puntos de reflexión. Generalidades y cálculo

2.1 PERFILES EN LOS TRAYECTOS DE PROPAGACION

Partiendo de haber seleccionado los mismos sitios en donde se encuentra ubicadas las estaciones terminales y repetidoras. Los diagramas de perfiles son trazados, haciendo uso de mapas topográficos de escala 1:50.000

Un importante factor influye en la forma de un diagrama de perfil, aunque la superficie de la tierra es curva, el rayo de energía de microondas - tiende a viajar en línea recta. Sin embargo, el rayo es normalmente curvado hacia abajo ligeramente por la refracción atmosférica.

El efecto de la refracción es tal que si el diagrama de perfil es preparado sobre la base de $4/3$ del verdadero radio de la tierra, (ver ápendice #1), una línea recta entre los sitios de las antenas indicará las distancias entre el camino de transmisión y la tierra.

El efecto de usar $K = 4/3$ y el verdadero radio de la tierra es mostrado en los cuatro gráficos fig. 2.1a, 2.1b, 2.1c, y 2.1d, en donde podemos ver la distancia que hay entre antenas y lo libre de obstáculos que tienen los tramos, ya que como medida imprescindible en un sistema de radio enlace por microondas es que haya línea de vista.

Debemos mencionar la importancia que tiene en un estudio de esta natura-

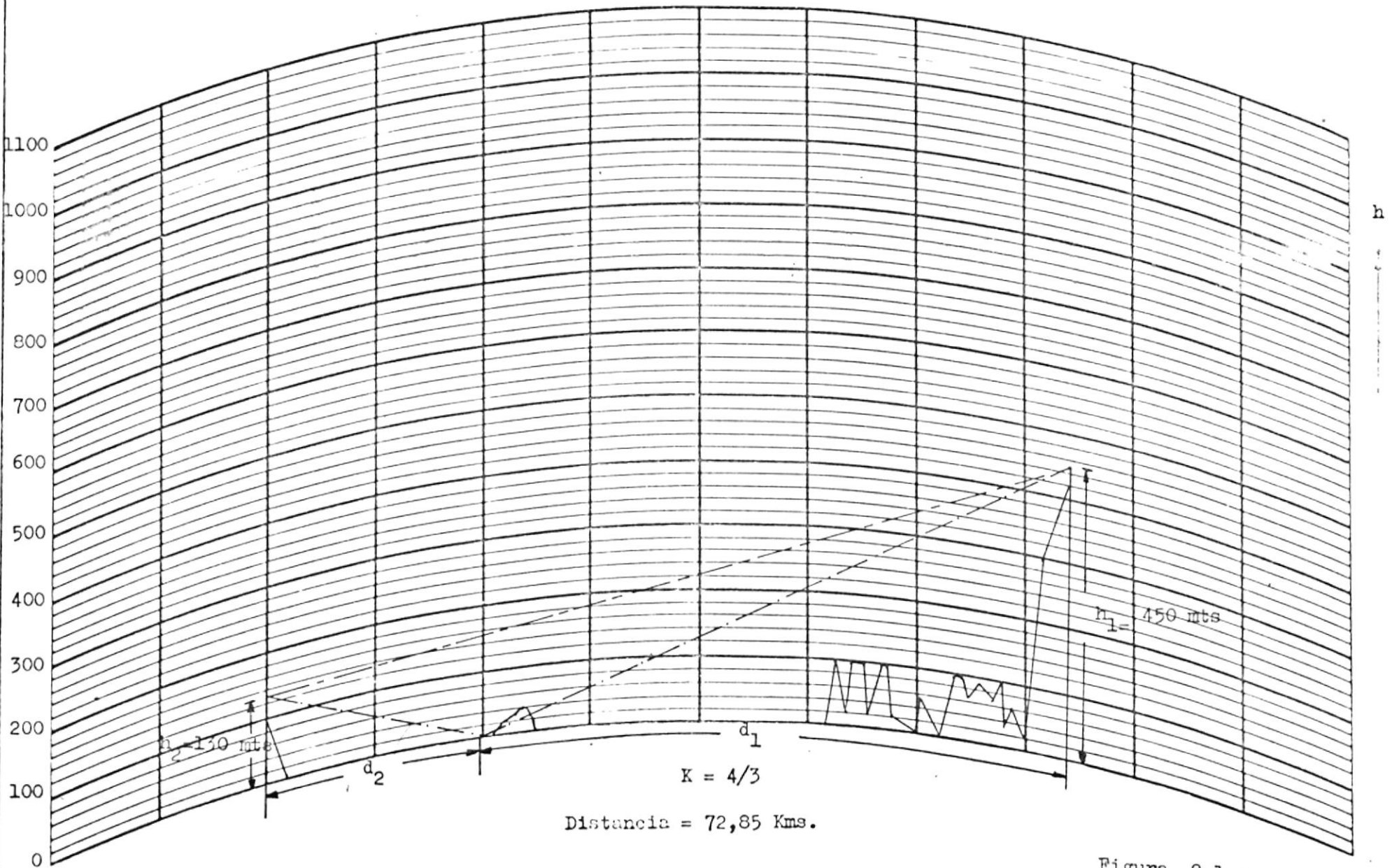
leza, el trazar los diagramas de perfiles, ya que estos constituyen la base principal en donde parten los demás cálculos.

DIAGRAMA DE PERFIL

ESTACION	ALTURA Sobre el nivel del mar	ALTURA DE ANTENA Sobre la tierra
T ₁ El Carmen	100 Mts	30 Mts
R ₁ C.de Animas	420 Mts	30 Mts

ESCALA

d	h
120 Kms.	1.100 Mts



Distancia = 72,85 Kms.

Figura 2.1.a

DIAGRAMA DE PERFIL

ESTACION	ALTURA Sobre el nivel del mar	ALTURA DE ANTENA Sobre la tierra
R ₁ C.de Animas	420 Mts	45 Mts
T ₂ Salinas	0 Mts	45 Mts

ESCALA	
d	h
120 Kms	1.100 Mts

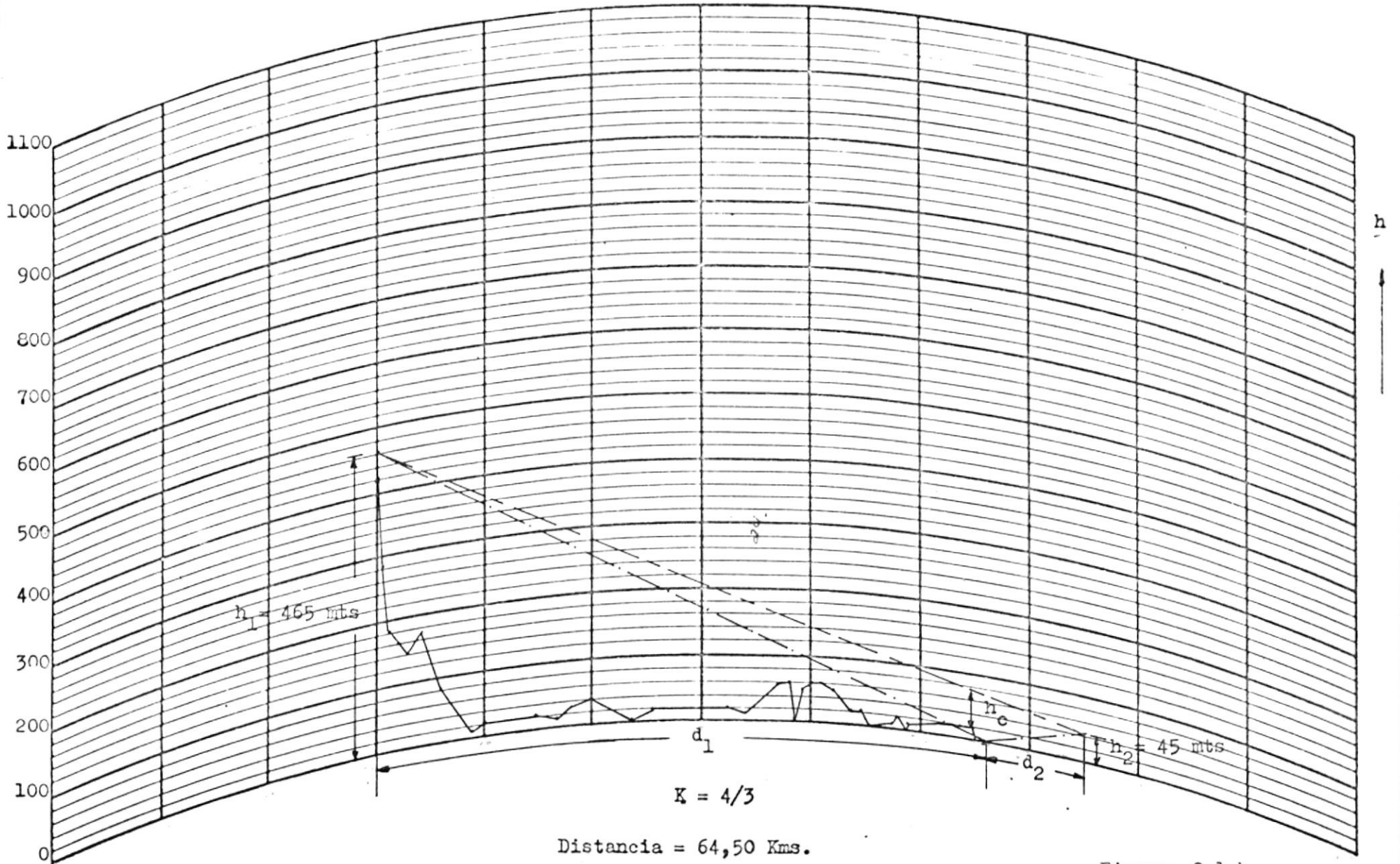
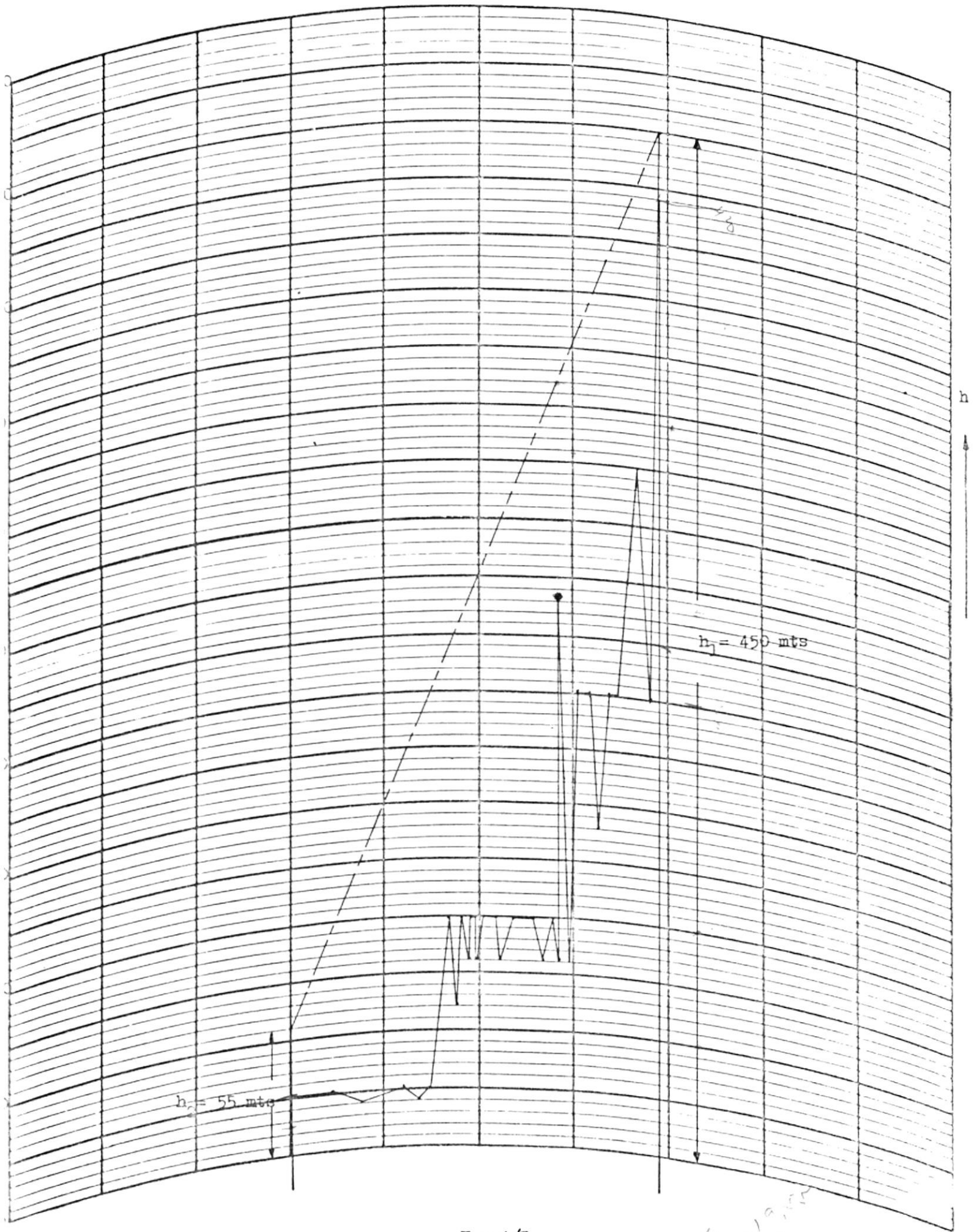


Figura 2.1.b

T₃ Playas 25 mts
R₁ C.de Animas 420 mts

30 mts
30 mts

50 Kms 500 mts

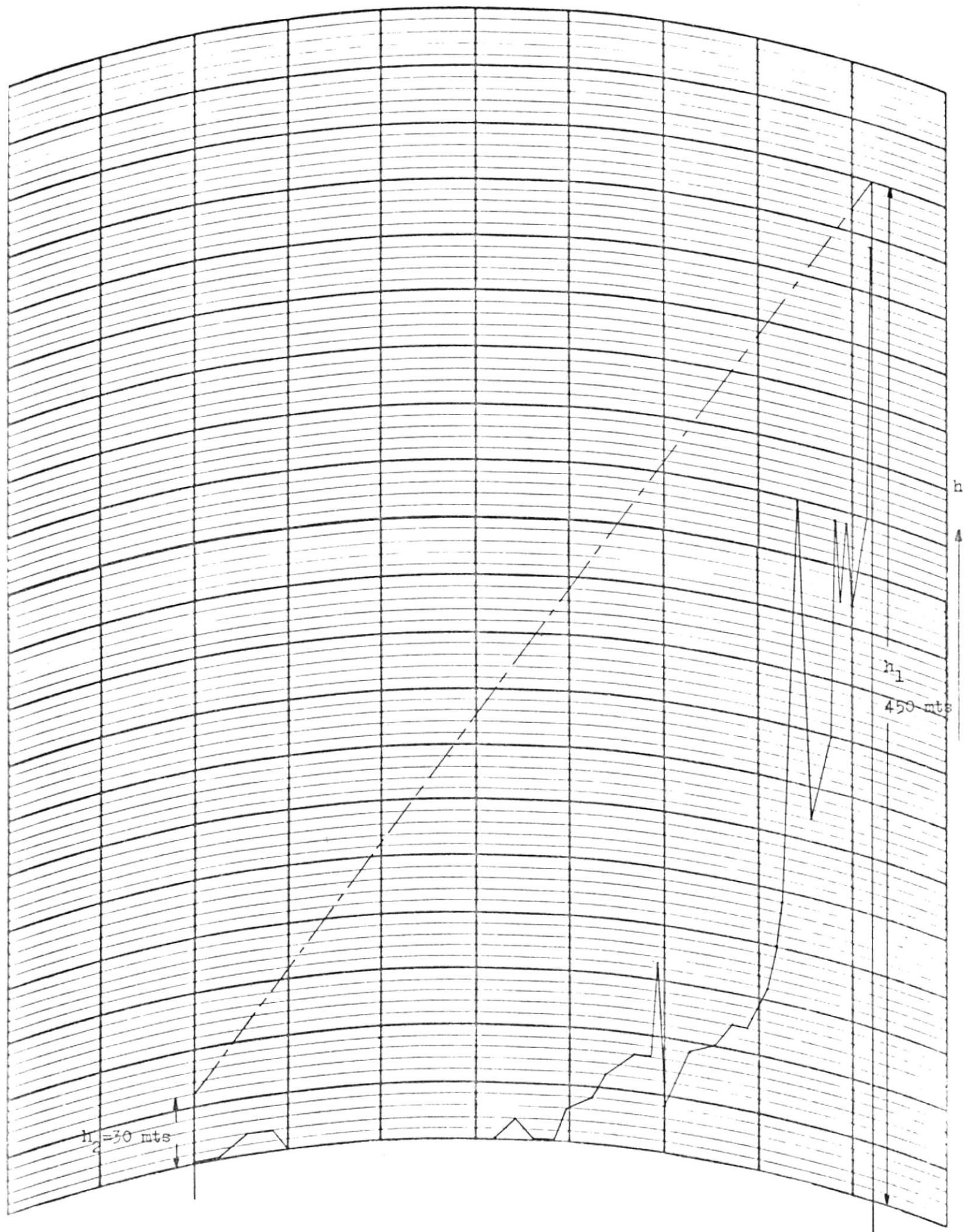


$K = 4/3$

Distancia = 19.55 Kms

Figura 2.1.c

80-1-1955



$K = 4/3$

Distancia = 36 Kms

Figura 2.1.d.

TRAMO DE RADIO

EL CARMEN - ANIMAS

$$(T_1 - R_1)$$

DISTANCIA TOTAL = 72,85 kms

= Altura en metros

= Distancia horizontal en kms

EL CARMEN	d/m	l/km	d/km	ANIMAS
	0	100	59	0
	0,5	0	60	60
	7	0	61	30
	20	0	62	0
	21	10	62,5	20
	22,5	20	63	100
	23	40	63,5	100
	23,6	40	64	60
	24	20	64,5	60
	24,5	0	65	100
	51	0	65,5	60
	52	10	66	100
	53,5	100	66,5	60
	54	20	67	30
	54,5	100	68	60
	54,8	100	69	30
	55,2	100	70	20
	55,4	20	70,5	60
	57,2	100	71	100
	57,8	100	72	300
	58	20	72,85	420

T R A M O D E R A D I O

A N I M A S - S A L I N A S

$$(R_1 - T_2)$$

DISTANCIA TOTAL = 64,5 Kms

Hxm = Altura en metros

dkm = Distancia horizontal en kms

<u>ANIMAS</u>	<u>dkm</u>	<u>Hxm</u>	<u>dkm</u>	<u>Hxm</u>	
	0	420	38	0	
	0,5	280	39	40	
	1	180	40	50	
	1,5	150	40,5	50	
	2	160	42	40	
	3	170	42,5	40	
	4	80	43,2	20	
	6	50	44	20	
	8	10	44,3	0	
	10	25	45,1	0	
	12	20	45,2	10	
	14	20	46	0	
	16	10	47	0	
	18	36	47,3	20	
	20	40	48	0	
	22	20	49	10	
	24	0	50	10	
	26	20	51	20	
	28	20	52	20	
	30	20	53	20	
	32	20	54	20	
	34	10	55	20	
	36	40	55,3	0	
	37	50	56	0	
	37,5	50	58	0	
			64,5	0	<u>SALINAS</u>

T R A M O D E R A D I O

P L A Y A S - A N I M A S

(T₃ - R₁)

DISTANCIA TOTAL= 19.55 Kms

Hxm = Altura en metros

dkm = Distancia horizontal en Kms

<u>PLAYAS</u>	<u>dkm</u>	<u>Hxm</u>	<u>dkm</u>	<u>Hxm</u>	
	0	25	10.50	100	
	1	25	11	80	
	2	25	11.50	100	
	4	20	12	100	
	6	25	13	80	
	6.5	20	13.20	100	
	7.40	60	14	80	
	7.50	80	14.20	243	
	7.75	100	14.50	200	
	8	100	14.75	80	
	8.25	60	15	200	
	8.50	100	15.50	200	
	9	100	16	140	
	9.25	80	16.50	200	
	9.50	100	17	200	
	9.75	80	18	300	
	10	100	19	200	
			19.55	420	<u>CERRO DE ANIMAS</u>

T R A M O D E R A D I O

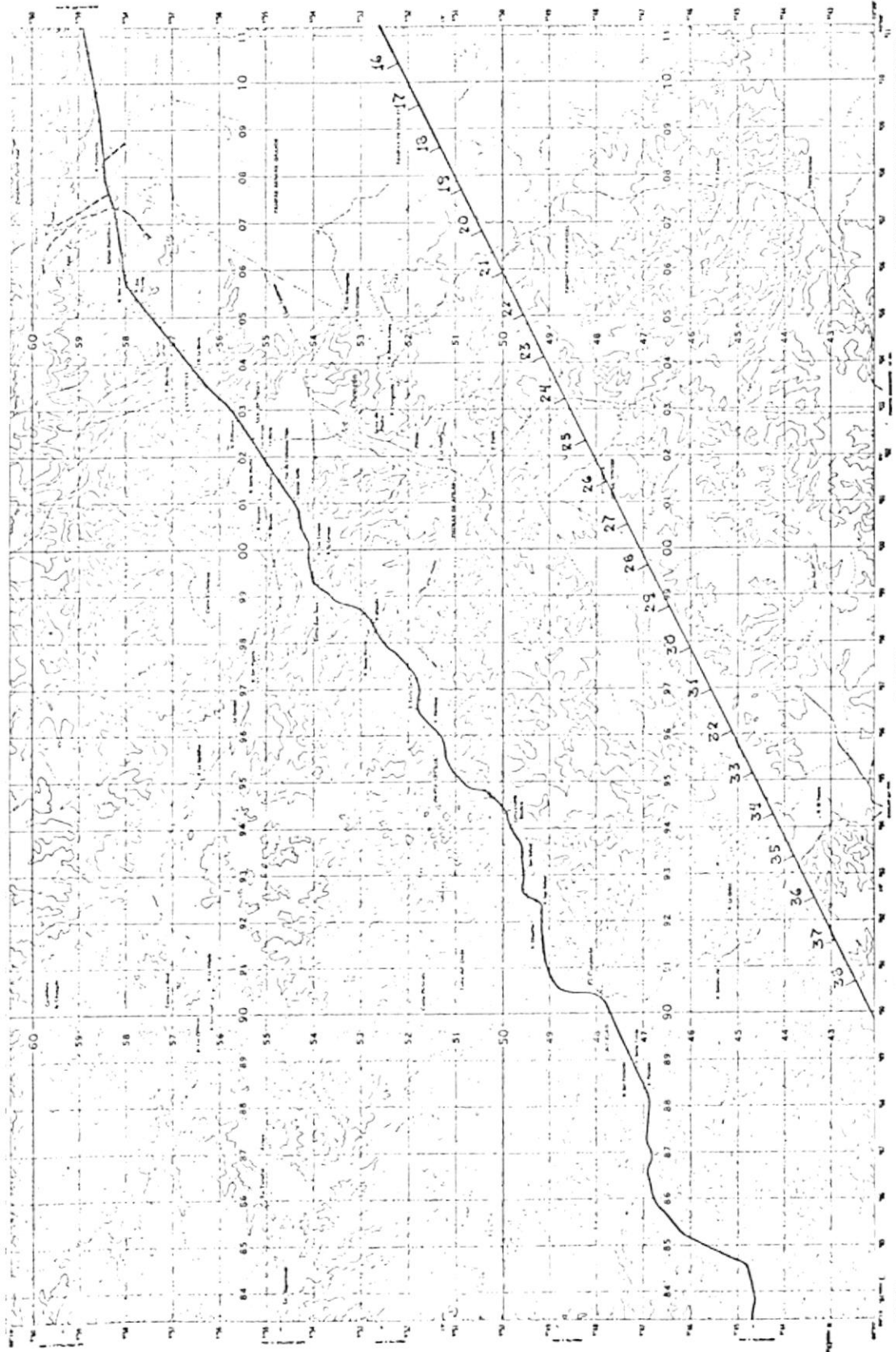
POSORJA - CERRO DE ANIMAS

(T₄ - R₁)

DISTANCIA TOTAL = 36,00 Kms
H_{km} = Altura en metros
d_{km} = Distancia horizontal en Kms

<u>POSORJA</u>	<u>d_{km}</u>	<u>H_{km}</u>	<u>d_{km}</u>	<u>H_{km}</u>
	0	0	27	50
	1	0	28	60
	2	10	29	60
	3	10	30	80
	4	10	30,5	100
	5	0	31	120
	16	0	31,5	180
	17	10	32	300
	18	0	32,2	325
	19	0	32,5	300
	20	15	33	160
	21	20	33,5	200
	22	30	34	280
	23	40	34,5	260
	24	40	34,65	300
	24,25	83	35	260
	25	20	35,5	300
	26	45	36	420

C. DE ANIMAS



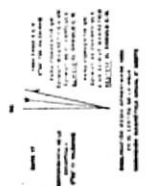
INSTITUTO VECINAL DE INVESTIGACIONES Y SERVICIOS TECNOLÓGICOS

Figura 1: 100 000

Mapa 1: 100 000

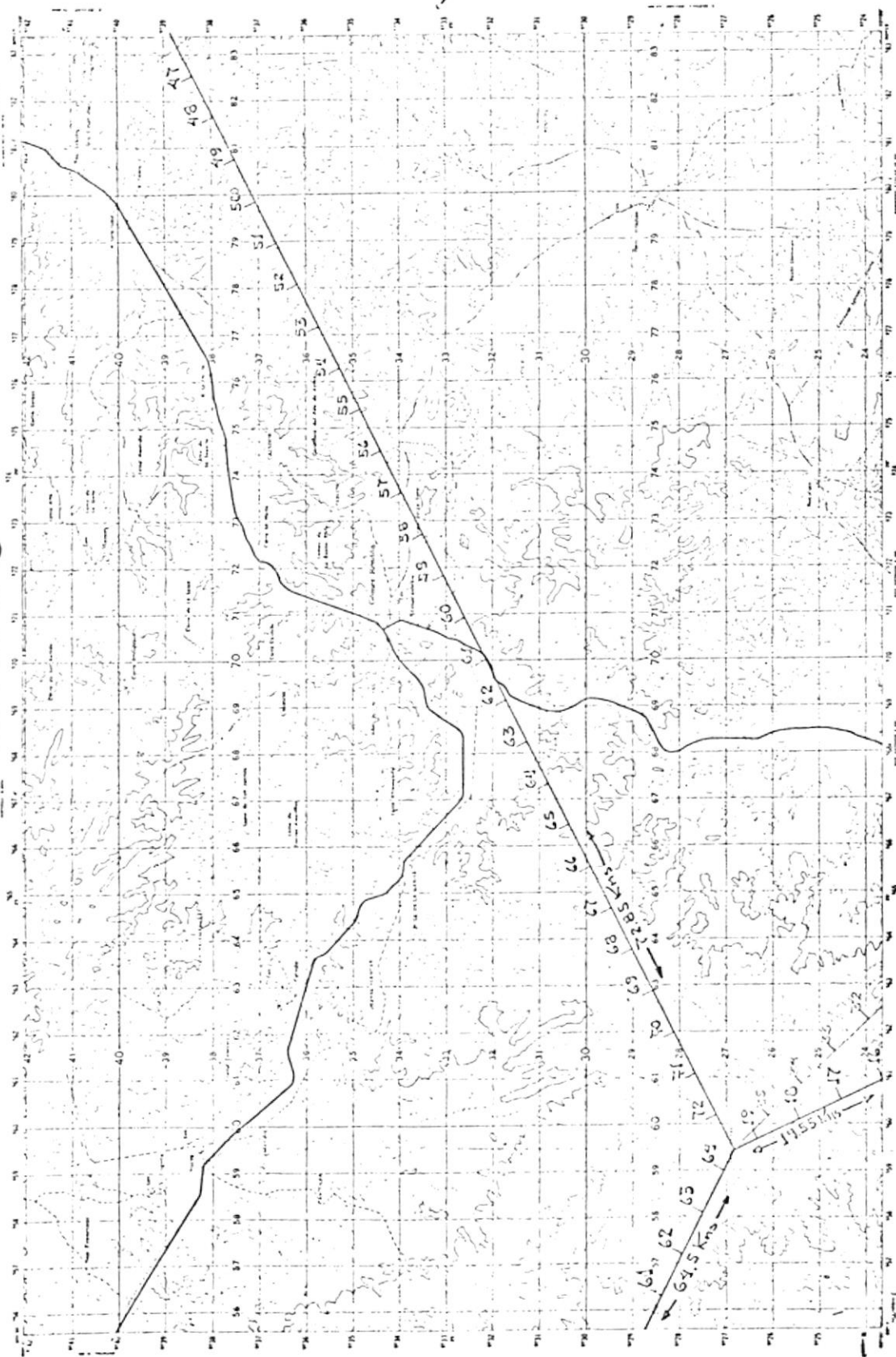
LEGENDA DE SÍMBOLOS

[Symbol]	[Symbol]	[Symbol]
[Symbol]	[Symbol]	[Symbol]
[Symbol]	[Symbol]	[Symbol]



INFORMACIÓN GENERAL DEL MAPA

Proyecto:	...
Fecha:	...
Escala:	...
Proy. Geogr.:	...
Proy. UTM:	...
Altitud:	...
Temperatura:	...
Humedad:	...
Vegetación:	...
Suelo:	...
Uso del Suelo:	...
Observaciones:	...



INSTITUTO NACIONAL DE INVESTIGACIONES Y PROYECCIONES TECNOLÓGICAS

NUMERO DE HOJAS DEL PLAN

1	2	3	4
5	6	7	8
9	10	11	12
13	14	15	16

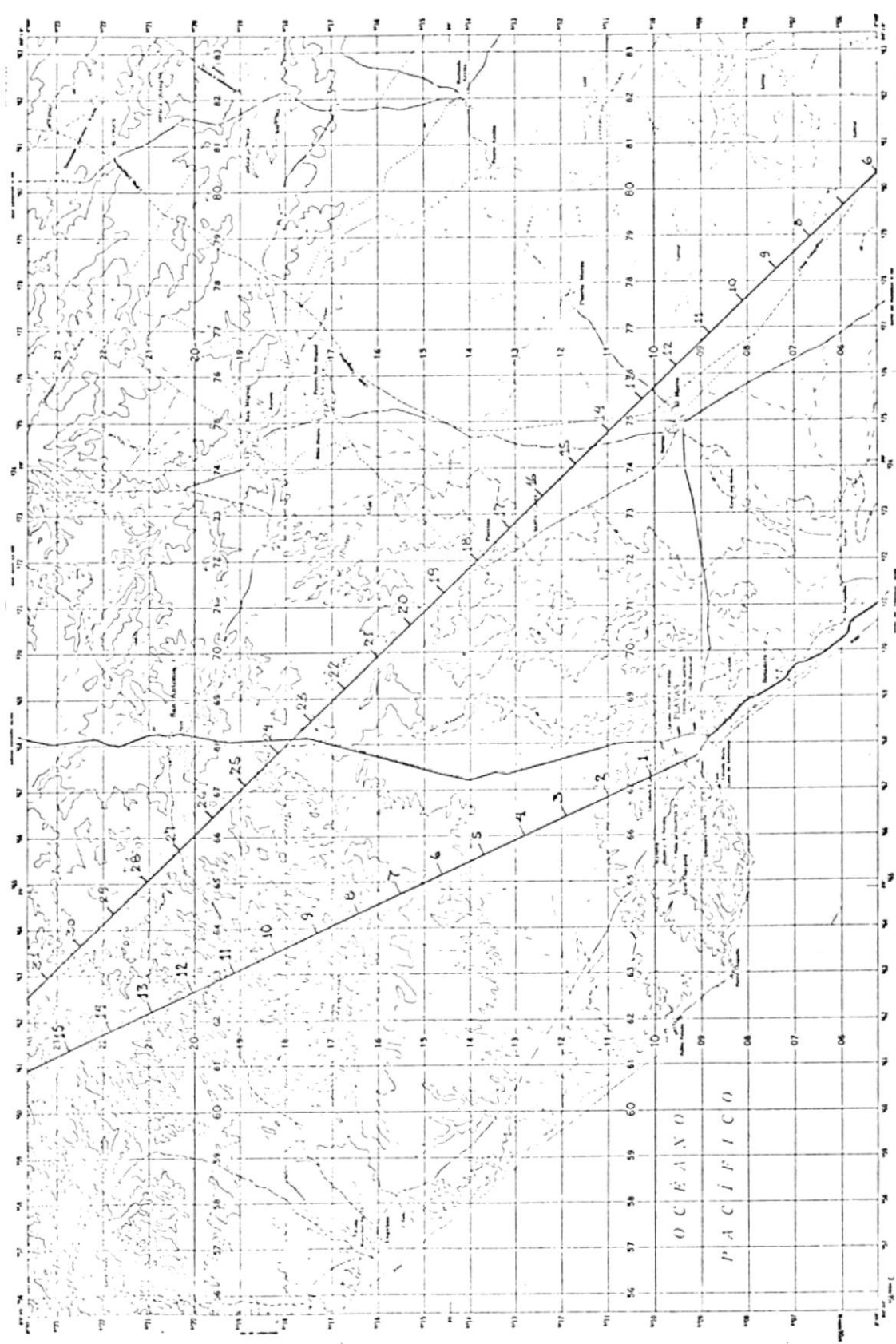
CURVAS DE NIVEL CON INTERVALO DE 20 METROS
 DATOS TOPOGRAFICOS DEL INSTITUTO NACIONAL DE INVESTIGACIONES Y PROYECCIONES TECNOLÓGICAS
 PROYECCION TRANSVERSA DE MERCATOR
 ESCALA 1:50,000
 FECHA DE ELABORACION: 1978
 FECHA DE ACTUALIZACION: 1978

SECCION DE INGENIERIA CIVIL

1	2	3	4	5	6	7	8	9	10	11	12	13	14	15	16	17	18	19	20	21	22	23	24	25	26	27	28	29	30	31	32	33	34	35	36	37	38	39	40	41	42	43	44	45	46	47	48	49	50	51	52	53	54	55	56	57	58	59	60	61	62	63	64	65	66	67	68	69	70	71	72	73	74	75	76	77	78	79	80	81	82	83	84	85	86	87	88	89	90	91	92	93	94	95	96	97	98	99	100
---	---	---	---	---	---	---	---	---	----	----	----	----	----	----	----	----	----	----	----	----	----	----	----	----	----	----	----	----	----	----	----	----	----	----	----	----	----	----	----	----	----	----	----	----	----	----	----	----	----	----	----	----	----	----	----	----	----	----	----	----	----	----	----	----	----	----	----	----	----	----	----	----	----	----	----	----	----	----	----	----	----	----	----	----	----	----	----	----	----	----	----	----	----	----	----	----	----	----	-----



PROVINCIA DEL GUAYAS
 GÓMEZ RUIZÓN, ECUADOR



PROYECTO DE OBRAS DE RECONSTRUCCIÓN DEL PUERTO DE PLAYAS, ECUADOR

SECCION TRANSVERSAL N.º 1

Escala 1:50,000

PROYECTO DE OBRAS DE RECONSTRUCCIÓN DEL PUERTO DE PLAYAS, ECUADOR

SECCION TRANSVERSAL N.º 1



CURVAS DE NIVEL CON INTERVALOS DE 10 METROS

CONTORNOS DE NIVEL MUY SUAVES DE 10 METROS

PROYECTO DE OBRAS DE RECONSTRUCCIÓN DEL PUERTO DE PLAYAS, ECUADOR

SECCION TRANSVERSAL N.º 1

LEYENDA
Contorno de Nivel
Contorno de Nivel Muy Suave
Carretera
Riacho
Cerro
Playas
Playa
Playa de Arena
Playa de Grava
Playa de Piedras
Playa de Conchales
Playa de Corales
Playa de Maderas
Playa de Cajas
Playa de Cajas de Madera
Playa de Cajas de Hierro
Playa de Cajas de Aluminio
Playa de Cajas de Plástico
Playa de Cajas de Cartón
Playa de Cajas de Papel
Playa de Cajas de Metal
Playa de Cajas de Vidrio
Playa de Cajas de Cerámica
Playa de Cajas de Piedra
Playa de Cajas de Madera
Playa de Cajas de Hierro
Playa de Cajas de Aluminio
Playa de Cajas de Plástico
Playa de Cajas de Cartón
Playa de Cajas de Papel
Playa de Cajas de Metal
Playa de Cajas de Vidrio
Playa de Cajas de Cerámica
Playa de Cajas de Piedra

LEYENDA
Contorno de Nivel
Contorno de Nivel Muy Suave
Carretera
Riacho
Cerro
Playas
Playa
Playa de Arena
Playa de Grava
Playa de Piedras
Playa de Conchales
Playa de Corales
Playa de Maderas
Playa de Cajas
Playa de Cajas de Madera
Playa de Cajas de Hierro
Playa de Cajas de Aluminio
Playa de Cajas de Plástico
Playa de Cajas de Cartón
Playa de Cajas de Papel
Playa de Cajas de Metal
Playa de Cajas de Vidrio
Playa de Cajas de Cerámica
Playa de Cajas de Piedra

da llegará al receptor, dependiendo en la distancia de la antena y el ángulo θ .

Para distancia más corta de camino d , entre T y R el ángulo θ será de 180° , pero para cualquier otro camino estará entre 0° y 180° .

Para cualquier punto tal como P', el coseno del ángulo θ es una medida del "factor de oblicuidad" que define la magnitud de la componente que llega al receptor.

Obviamente si nosotros consideramos el punto P'', el ángulo θ es mucho menor y el contributo de la magnitud de la señal será menor que la del punto P'.

Si nosotros vemos una vez más el punto P', es evidente que la energía que llega por esta vía al receptor lo hará después de la energía que ha viajado por el camino más corto de transmisión d .

* { Si la distancia de camino P' es mayor por media longitud de onda ($\lambda/2$) la diferencia de fase será de 180° y las señales serán canceladas.

Si la longitud del camino indirecto es incrementada por media longitud de onda más ($\lambda/2$), la señal viajará por este camino (punto P'') y se añ-

dirá en fase con la señal directa.

La longitud del camino indirecto puede ser incrementado indefinidamente definiéndonos el camino en el cual la señal será alternativamente cancelada o reforzada a la onda directa.

La Figura 2.2.b es otra vista del camino de radio, las líneas discontinuas representa el frente de onda, que se expanden desde T.

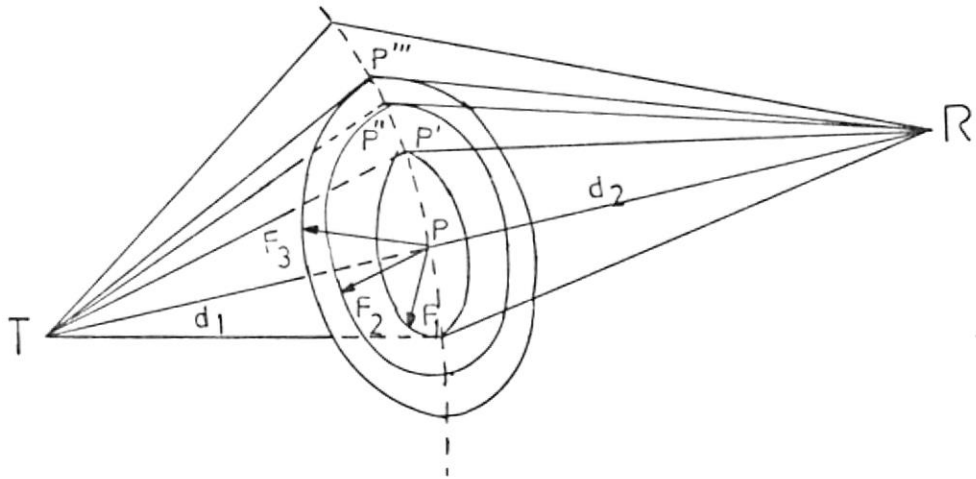


Figura 2.2.b

El punto P' nuevamente define el camino indirecto en el cual su extra longitud es media longitud de onda ($\lambda/2$). Si imaginamos mover P' al rededor de la circunferencia interior del círculo ello nos define todos los posibles caminos cuya longitud será de $d + \lambda/2$. Este círculo inte-

rior es llamado la primera zona de Fresnel con radio F_1 , y su fórmu-

la es:

$$F_1 = 17,32 \sqrt{\frac{f \text{ (Ghz)} \times d}{d_1 \times d_2}} \quad \text{(ver apéndice # 2)}$$

ELIPSOIDES DE FRESNEL. CALCULO

Cálculo de la 1ª zona de Fresnel

TRAMO: PLAYAS - CERRO DE ANIRAS ($T_3 - R_1$)

Partimos de la fórmula (ver apéndice # 2)

$$F_1 = 17,32 \sqrt{\frac{f \text{ (Ghz)} \times d}{d_1 \times d_2}} \quad \text{(m)}$$

En donde:

$d_1 = 5,35$ Kilómetros

$d_2 = 14,20$ Kilómetros

$d = 19,55$ Kilómetros

$f = 0,4$ Ghz (ver capítulo 1 # 1.3)

Reemplazando valores:

$$F_1 = 17,32 \sqrt{\frac{5,35 \times 14,20}{0,4 \times 19,55}} = 53,98 \text{ metros}$$

Valor de la primera zona de Fresnel, calculado en el lugar en donde se encuentra la altura del obstáculo mas cercano a la línea de vista (ver diagrama de perfil Fig. 2.1.c) .

La altura de antena puede ser determinada tal que la distancia entre el tope del obstáculo y la línea de vista sea mayor que la primera zona de Fresnel cercana al obstáculo, es decir $h_c > F_1$. Naturalmente la de terminación de la altura de la antena está sujeta también a la reflexión del haz en la superficie de la tierra.

La importancia de tener la primera zona de Fresnel libre de obstáculo, radica en que la intensidad total de campo en el receptor, es el contributo de todas las zonas de Fresnel, y que aproximadamente la mitad de la intensidad total de campo se debe tan solo a la primera zona de Fresnel.

En el diagrama de perfil Fig. 2.1.c podemos apreciar la distancia entre la línea central del camino de radio y el obstáculo, h_c es de-

terminado por la siguiente fórmula:

$$h_c = h_1 - \frac{d_1}{d} (h_1 - h_2) - \frac{d_1 \times d_2}{2 \times K \times a} - h_s \text{ (ver apéndice \# 4)}$$

En donde: $h_1 > h_2$

$$h_1 = 420 + 30 = 450 \text{ metros}$$

$$h_2 = 25 + 30 = 55 \text{ metros}$$

$$d_1 = 5,35 \times 10^3 \text{ metros}$$

$$d_2 = 14,20 \times 10^3 \text{ metros}$$

$$d = 19,55 \times 10^3 \text{ metros}$$

$$h_s = 243 \text{ metros (altura del obstáculo)}$$

$$a = 6,37 \times 10^3 \text{ metros (radio de la tierra)}$$



Para $K = 4/3$

Reemplazando valores:

$$h_c = 450 - \frac{5,35 \times 10^3}{19,55 \times 10^3} (450 - 55) - \frac{5,35 \times 10^3 \times 14,20 \times 10^3}{2 \times 4/3 \times 6,37 \times 10^6} - 243$$

$$h_c = 94,44 \text{ metros}$$

Es decir que la condición $h_c > F_1$ se cumple, puesto que $94,44 > 53,98$
para $K = 2/3$

$$h_c = 450 - \frac{5,35 \times 10^3}{19,55 \times 10^3} (450 - 55) - \frac{5,35 \times 10^3 \times 14,20 \times 10^3}{2 \times 2/3 \times 6,37 \times 10^6} - 243$$

$$h_c = 89,97 \text{ metros}$$

La condición se cumple nuevamente para $K = 2/3$, puesto que $89,97 > 53,98$

Debemos notar que en los cálculos hemos tomado una altura de antena (sobre la tierra) de 30 metros y la condición se cumple satisfactoriamente.

Si tomamos una altura de antena de 10 metros, o sea:

$$h_1 = 420 + 10 = 430 \text{ metros}$$

$$h_2 = 25 + 10 = 35 \text{ metros}$$

Para $K = 4/3$

$$h_c = 430 - \frac{5,35 \times 10^3}{19,55 \times 10^3} (430 - 35) - \frac{5,35 \times 10^3 \times 14,20 \times 10^3}{2 \times 4/3 \times 6,37 \times 10^6} = 243$$

$$h_c = 74,44$$

La condición $(74,44 > 53,98)$ se cumple.

Para $K = 2/3$

$$h_c = 430 - \frac{5,35 \times 10^3}{19,55 \times 10^3} (430 - 35) - \frac{5,35 \times 10^3 \times 14,20 \times 10^3}{2 \times 2/3 \times 6,37 \times 10^6} = 243$$

$$h_c = 69,97$$

La condición $(69,97 > 53,98)$ se cumple, ya sea que la altura de las antenas sea de 55 metros o de 35 metros, para $K = 4/3$ y $K = 2/3$.

La determinación de la altura de las antenas para este Tramo de Radio, quedan sujeto a la reflexión del haz, en la superficie de la tierra.

CALCULO DE LA 1ª ZONA DE FRESNEL

TRAMO: CERRO DE ANIMAS - SALINAS (R₁ - T₂)

Partimos de la fórmula (ver apéndice # 2)

$$F_1 = 17,32 \sqrt{\frac{d_1 \times d_2}{f \text{ (Ghz)} \times d}} \text{ (m)}$$

En donde:

$$\begin{aligned} d_1 &= 55 \text{ Kilómetros} \\ d_2 &= 9,5 \text{ Kilómetros} \\ d &= 64,5 \text{ Kilómetros} \\ f &= 4 \text{ Ghz} \end{aligned}$$

Reemplazando valores:

$$F_1 = 17,32 \sqrt{\frac{55 \times 9,5}{4 \times 64,5}} = 24,65 \text{ metros}$$

Valor de la primera zona de Fresnel, calculado en el lugar en donde se encuentra la altura del obstáculo más cercano a la línea de vista (ver diagrama de perfil Fig. # 2.1.b).

Para el cálculo de la altura de la antena determinamos el valor de h_c , aunque esta determinación depende también de la reflexión del haz.

En el diagrama de perfil Fig. 2.1.b podemos apreciar la distancia entre la línea central del camino de radio y el obstáculo, h_c es determinado por la siguiente fórmula:

$$h_c = h_1 - \frac{d_1}{d} (h_1 - h_2) - \frac{d_1 \times d_2}{2 \times K \times a} - h_s \text{ (ver apéndice \# 4)}$$

En donde: $h_1 > h_2$

$$h_1 = 420 + 45 = 465 \text{ metros}$$

$$h_2 = 0 + 45 = 45 \text{ metros}$$

$$d_1 = 55 \times 10^3 \text{ metros}$$

$$d_2 = 9,50 \times 10^3 \text{ metros} \quad d = 64,50 \times 10^3 \text{ metros}$$

$$h_s = 20 \text{ metros (altura del obstáculo)}$$

$$a = 6,37 \times 10^6 \text{ metros (radio de la tierra)}$$

Para $K = 4/3$

$$h_c = 465 - \frac{55 \times 10^3}{64,5 \times 10^3} (465 - 45) - \frac{55 \times 10^3 \times 9,50 \times 10^3}{2 \times 4/3 \times 6,37 \times 10^6} - 20$$

$$h_c = 56,10 \qquad 56,10 > 24,65$$

Para $K = 2/3$

$$h_c = 465 - \frac{55 \times 10^3}{64,5 \times 10^3} (465 - 45) - \frac{55 \times 10^3 \times 9,5 \times 10^3}{2 \times 2/3 \times 6,37 \times 10^6} - 20$$

$$h_c = 25,34 \qquad 25,34 > 24,65$$

Es decir que la condición se cumple para valores de $K = 4/3$ y $K = 2/3$ y con ello la primera zona de Fresnel se encuentra libre de obstáculo - con una altura de antena para este Tramo de 45 metros en cada estación. Pero debemos tomar en cuenta el cálculo de las pérdidas debido a la reflexión, ya que el recorrido del rayo reflejado como lo veremos más adelante se encuentra supereditado a la altura de las antenas.

En lo que se refiere a los Tramos de Radio: EL CARMEN - CERRO DE ANIMAS y POSORJA - CERRO DE ANIMAS, en los diagramas de perfiles Fig. # 2.1.a y 2.1.d, podemos ver que se encuentran libre de todos los obstáculos que puedan perjudicar la señal y que la altura de las antenas están supereditadas al cálculo de las pérdidas por reflexión.

De esta forma corroboramos la utilidad de la estación repetidora Cerro de Animas, debido a que es posible efectuar la derivación hacia Playas y Posorja.

Debemos mencionar en cuanto respecta al tipo de torre de la estación EL CARMEN (Guayaquil), EL INSTITUTO ECUATORIANO DE TELECOMUNICACIONES - REGION 2 proyectó y se encuentra en la actualidad en construcción - un edificio - torre en el cerro EL CARMEN, con una altura de 36 metros, con una torre autosoportada de 30 metros, obra que será terminada a fines del año 1976.



BIBLIOTECA

2.3. PUNTOS DE REFLEXION. GENERALIDADES Y CALCULO

Los diagramas de perfiles trazados no solo nos determinan si existen o no adecuadas distancias de camino para la transmisión, sino que una carta de perfil puede también ser usada para determinar los puntos de re--flexión.

Cuando una onda plana choca con una superficie tal como la tierra, se refleja con un ángulo de reflexión igual al ángulo de incidencia.

Cuando la superficie reflectora tiene una conductividad infinita, la amplitud de la onda reflejada es igual a la amplitud de la onda incidente, y la onda reflejada tiene ya sea exactamente la misma fase o está con una fase exactamente opuesta a la onda incidente, según la polarización.

Con la tierra real, la onda reflejada tiende a ser de una amplitud menor que la incidente, y las relaciones de fase están modificadas con respecto a las que existen con un reflector infinitamente conductor. Es decir una reflexión fuerte será causada por un cuerpo lizo o por una tierra liza, mientras que una reflexión menos fuerte vendría de un terreno arbolado.

En general una onda fuertemente reflejada no es desechada por que puede cau

sar fuerte distorsión o desvanecimiento.

Debemos recordar que en propagación por microonda, la onda reflejada debe ser simultáneamente considerada con la onda directa. Es decir, la potencia en recepción puede ser tratada como la suma vectorial de las ondas.

En este caso la intensidad de campo E es :

$$E = E_0 \left(1 + R e^{j \frac{2\pi\Delta}{\lambda}} \right)$$

En donde:

E_0 = Intensidad de campo en el receptor

R = Coeficiente de reflexión de la tierra

λ = Longitud de onda

Δ = Diferencia de camino entre la onda directa y reflejada

Para tomar en cuenta la curvatura de la tierra, es conveniente que R sea reemplazado por el coeficiente equivalente de reflexión el cual es igual.

$$= R \cdot D \cdot S \cdot Z$$

En donde :

- R = Coeficiente de reflexión de la tierra considerada plana
- D = Coeficiente de reflexión considerando la curvatura de la tierra.
- S = Coeficiente de dispersión, debido a las rugosidades de la superficie de la tierra.
- Z = Coeficiente de difracción de la onda reflejada debido a montañas, edificios, etc.

El coeficiente equivalente de reflexión es reportado en laboratorio, como nos indica la tabla 2.3.a

T A B L A 2.3.a

	SUPERFICIE AGUA		ARROZAL		CAMPO		CIUDAD, FLORESTA, MONTAÑA.	
	Coeficiente	Atenuación de la señal reflejada (dB)	Coeficiente	Atenuación de la señal reflejada. (dB)	Coeficiente	Atenuación de la señal reflejada. (dB)	Coeficiente	Atenuación de la señal reflejada (dB)
2 Ghz	1,0	0	0,8	2	0,6	4	0,3	10
4 Ghz	1,0	0	0,8	2	0,5	6	0,2	14
6 Ghz	1,0	0	0,8	2	0,5	6	0,2	14
11 Ghz	1,0	0	0,8	2	0,4	8	0,16	16

PUNTOS DE REFLEXION. CALCULO

TRAMO DE RADIO: EL CARMEN - CERRO DE ANIMAS (T₁ - R₁)

Calculamos los coeficientes c y m (ver apéndice # 3) partiendo de las dimensiones conocidas.

$$\begin{aligned}h_1 &= 450 \text{ metros} \\h_2 &= 130 \text{ metros} \\d &= 72,85 \text{ kilómetros} \\a &= 6.370 \text{ kilómetros (radio de la tierra)} \\K &= 4/3\end{aligned}$$

En donde:

$$c = \frac{h_1 - h_2}{h_1 + h_2} \quad h_1 > h_2$$

$$c = \frac{450 - 130}{450 + 130} = 0,552$$

$$m = \frac{d^2}{4 \times K \times a(h_1 + h_2)}$$

$$m = \frac{(72,85)^2}{4 \times 4/3 \times 6,37(450 + 130)} = 0,269$$

Utilizando la figura # 2.3.b (ver apéndice # 3) determinamos el parámetro $\underline{b} = 0,458$, luego determinamos las distancias d_1 y d_2 mediante las fórmulas siguientes:

$$d_1 = \frac{d}{2} (1 + \underline{b}) = \frac{72,85}{2} (1 + 0,458) = 53,11 \text{ kms.}$$

$$d_2 = \frac{d}{2} (1 - \underline{b}) = \frac{72,85}{2} (1 - 0,458) = 19,74 \text{ kms.}$$

En el diagrama de perfil de la figura # 2.1.a , podemos observar la ubicación del punto de reflexión, en donde notamos que la trayectoria que sigue la onda reflejada es obstruida por un obstáculo lo que significa que no tiene onda reflejada, que como indicamos anteriormente, una onda fuertemente reflejada puede causar desvanecimiento o distorsión de la señal.

Por consiguiente la altura de antena previamente seleccionada, tomando en cuenta condiciones de no obstrucción del 1^{er} elipsoide de Fresnel, es ratificado en virtud de que además la señal no es reflejada, de esta manera consideramos que la altura de antena en este Tramo, es de 30 metros para cada estación.

PUNTOS DE REFLEXION. CALCULO

Tramo de Radio: CERRO DE ANIMAS - SALINAS (R₁ - T₂)

Calculamos los coeficientes c y m (ver apéndice # 3) partiendo de las dimensiones conocidas.

$$h_1 = 465 \text{ metros}$$

$$h_2 = 45 \text{ metros}$$

$$d = 64,50 \text{ Kilómetros}$$

$$a = 6.370 \text{ Kilómetros (radio de la tierra)}$$

$$k = 4/3$$

En donde:

$$c = \frac{h_1 - h_2}{h_1 + h_2} \quad h_1 > h_2$$

$$c = \frac{465 - 45}{465 + 45} = 0,82$$

$$m = \frac{d^2}{4 \times k \times a(h_1 + h_2)}$$

$$m = \frac{(64,50)^2}{4 \times 4/3 \times 6,37 \times (465 + 45)} = 0,24$$

Utilizando la figura # 2.3.b (ver apéndice # 3) determinamos el parámetro $\underline{b} = 0,73$, luego determinamos las distancias d_1 y d_2 mediante las fórmulas siguientes:

$$d_1 = \frac{d}{2} (1 + \underline{b}) = \frac{64,50}{2} (1 + 0,73) = 55,79$$

$$d_2 = \frac{d}{2} (1 - \underline{b}) = \frac{64,50}{2} (1 - 0,73) = 8,71$$

En el diagrama de perfil de la figura # 2.1.b, podemos observar la ubicación del punto de reflexión, en donde notamos que la trayectoria que sigue la onda reflejada es obtruida por un obtáculo, lo que significa que no existe onda reflejada, ya que como mencionamos anteriormente, una onda reflejada puede causar desvanecimiento de la señal.

Por consiguiente la altura de antena previamente seleccionada, tomando en cuenta condiciones de no obstrucción del 1^{er} elipsoide de Fresnel es ratificado en virtud de que además la señal no es reflejada, de esta manera la altura de antena en este tramo es de 45 metros en cada estación.

La tabla # 2.3.c muestra la altura de las antenas de todas las estaciones.

CAPITULO Nº 3

3 Tramos del radio- enlace

3.1. Distribución de la atenuación en el Tramo

3.2. Cálculo de la atenuación por espacio libre y pérdidas en la líneas de alimentación de las antenas y filtros.

3.3. Determinación de las ganancias requeridas de las antenas y cálculo de la potencia de recepción.



3.1. DISTRIBUCION DE LA ATENUACION EN EL TRAMO

En la figura # 3.1.a se indican los distintos componentes de la "Atenuación total" entre los terminales de salida del transmisor y los de entrada del receptor.

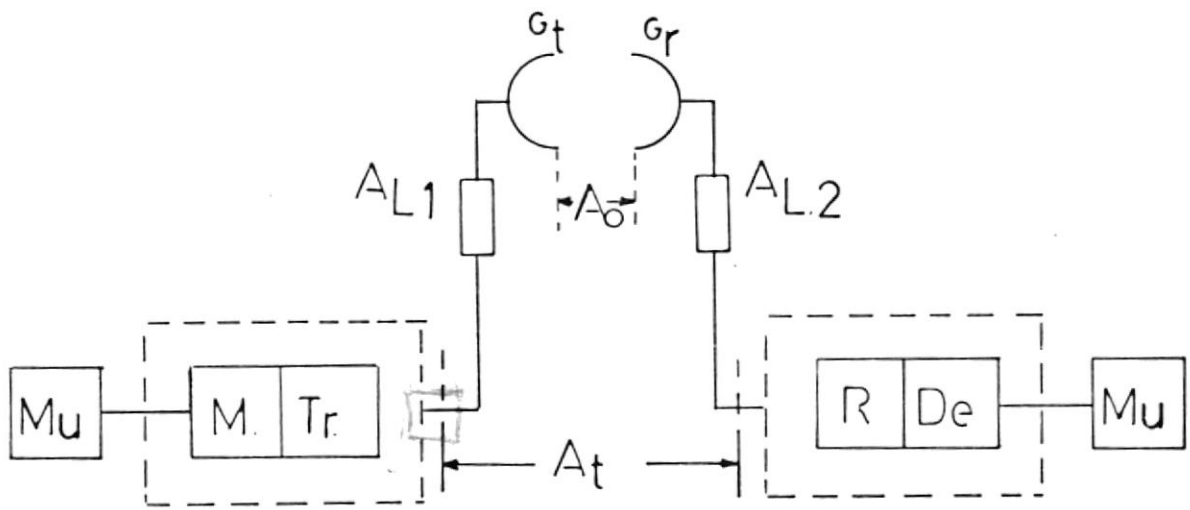


Figura # 3.1.a

Mu = Equipo multiplex

M = Modulador de RF

Tr = Transmisor

R = Receptor

De = Demodulador de RF

At = Atenuación total del recorrido de RF.

A0 = Atenuación del trayecto

AL1,2 = Pérdidas en los alimentados (incluye guías de onda, filtros etc.)

Gt,r = Ganancia de antena

La atenuación total está compuesta de varios sumandos: A_0 es la pérdida básica de transmisión, considerada cuando no hay presencia de desvanecimiento, esta pérdida es la pérdida real entre las dos estaciones en los cuales se han usado radiadores isotrópicos.

Las eventuales pérdidas que pudieran parecer por obstrucciones están incluídas en A_0 .

g_1 , g_2 son ganancias de las antenas que se utilizan, respecto al radiador isotrópico.

A_{L1} , A_{L2} son las pérdidas en los alimentadores de las antenas, incluyendo aisladores, filtros y circuladores.

La atenuación total A_t es entonces igual:

$$A_t = A_0 - (G_t + G_r) + A_{L1} + A_{L2}$$

3.2. CALCULO DE LA ATENUACION POR ESPACIO LIBRE Y PERDIDAS EN LAS LINEAS
DE ALIMENTACION DE LAS ANTENAS Y FILTROS

Atenuación por espacio Libre. Cálculo

Tramo de Radio: EL CARMEN - CERRO DE ANIMAS (T₁ - R₁)

Cálculo de la atenuación por espacio libre, partiendo de la distancia del tramo y de la frecuencia.

$$d = 72,85 \text{ Kms}$$

$$f = 4 \text{ Ghz}$$

Aplicando la fórmula (ver apéndice # 5)

$$\begin{aligned} A_o &= 92,40 + 20 \log. (d \text{ kms }) + 20 \log. f \text{ (Ghz)} \\ &= 92,40 + 20 \log. (72,85) + 20 \log. 4 \\ &= 92,40 + 37,25 + 12,04 \\ &= \underline{\underline{141,69 \text{ db}}} \end{aligned}$$

ATENUACION POR ESPACIO LIBRE. CALCULO

Tramo de Radio: CERRO DE ANIMAS - SALINAS (R₁ - T₂)

Cálculo de la atenuación por espacio libre, partiendo de la distancia del

Handwritten notes:
1.62
f = 4 Ghz

tramo y de la frecuencia.

$$d = 64,50 \text{ Kms}$$

$$f = 4 \text{ Ghz}$$

Aplicando la fórmula (ver apéndice # 5)

$$\begin{aligned} A_0 &= 92,40 + 20 \log. d \text{ (kms)} + 20 \log. f \text{ (Ghz)} \\ &= 92,40 + 20 \log. 64,50 + 20 \log. 4 \\ &= 92,40 + 36,19 + 12,04 \\ &= \underline{\underline{140,63 \text{ dB}}} \end{aligned}$$

Las pérdidas en los aisladores, circuladores y filtros, estimados en 3,0 dB en el tramo y de 0,03 dB/m en la guía de onda.

Tramo de Radio: EL CARMEN - CERRO DE ANIMAS (T₁ - R₁)

$$\text{EL CARMEN (T}_1 \text{)} = 30 \text{ m} \times 0,03 \text{ dB/m} = 0,90 \text{ dB}$$

$$\text{CERRO DE ANIMAS} = 30 \text{ m} \times 0,03 \text{ dB/m} = 0,90 \text{ dB}$$

$$\text{Pérdidas totales en el tramo} = 0,90 + 0,90 + 3 = \underline{\underline{4,8 \text{ dB}}}$$

Tramo de Radio: CERRO DE ANIMAS - SALINAS (R₁ - T₂)

$$\text{CERRO DE ANIMAS (T)} = 45 \text{ m} \times 0,03 \text{ dB/m} = 1,35 \text{ dB}$$

$$\text{SALINAS (T}_2 \text{)} = 45 \text{ m} \times 0,03 \text{ dB/m} = 1,35 \text{ dB}$$

$$\text{Pérdidas totales en el tramo} = 1,35 + 1,35 + 3 = \underline{\underline{5,70 \text{ dB}}}$$

3.3. DETERMINACION DE LAS GANANCIAS REQUERIDAS DE LAS ANTENAS Y CALCULO DE LA POTENCIA DE RECEPCION

Las antenas deben ser seleccionadas de tal forma que la potencia de entrada al receptor tenga un nivel normal.

La Recomendación 380-1 del CCIR, considerando que las interconexiones internacionales se hacen a banda base, nos dice al respecto que la potencia de recepción relativa por canal debe tener un nivel de - 42 dBm.

La potencia de señal útil de recepción (P_s) es definida de la siguiente forma:

$$P_s(\text{dBm}) = P_t(\text{dBm}) + G_t(\text{dB}) + G_r(\text{dB}) - A_o - A_1$$

En donde los cuatro últimos términos corresponden a la atenuación total A_t , (ver ecuación 3.1.a)

$$A_t = A_o - (G_t + G_r) + A_1$$

Luego, la potencia de señal útil de recepción es igual:

$$P_s(\text{dBm}) = P_t(\text{dBm}) - A_t(\text{dB}) \quad (\text{Ecuación 3.3.a})$$



BIBLIOTECA

En donde:

$P_{t(\text{dBm})}$ = Potencia de transmisión relativa a 1 mw

La ganancia de una antena se encuentra determinada por la siguiente fórmula:

$$G_{(\text{dB})} = 10 \log. \eta \left[\left(\frac{D \pi}{\lambda} \right)^2 \right] \quad (\text{Ecuación 3.3.b})$$

En donde:

η = Rendimiento que nos indica la disminución del área geométrica al área efectiva. Para antenas parabólicas = 0,5

λ = Longitud de onda en metros

D = Diámetro de la parábola en metros

Los valores calculados se encuentran dentro de los límites normales.

TRAMO DE RADIO: EL CARMEN - CERRO DE ANIMAS (T₁ - R₁)

Cálculo de la ganancia de la Antena

Considerando la distancia de 72,85 kilómetros del Tramo, tomamos un diáme

tro de antena de 3 metros.

Aplicando la fórmula (ecuación 3.3.b)

$$G_{(dB)} = 10 \log \left[\eta \left(\frac{D \pi}{\lambda} \right)^2 \right] \text{ (dB)}$$

En donde:

$$D = 3 \text{ metros}$$

$$\eta = 0,5$$

$$\lambda = \frac{3 \times 10^8 \text{ m/seg.}}{4 \times 10^9 \text{ Hz}} = 0,075 \text{ metros}$$

Reemplazando tendremos:

$$G = 10 \log. \left[0,5 \left(\frac{3, \pi}{7,5 \times 10^3} \right)^2 \right] = 38,97 \text{ dB}$$

Cálculo de la potencia de señal útil de recepción (P_s)

Asumiendo que la potencia de transmisión (P_t) sea de 1 watio (30 dBm) y aplicando la fórmula ecuación 3.1.a , tenemos:

$$P_s \text{ (dBm)} = P_t \text{ (dBm)} - A_t \text{ (dBm)}$$

En donde: $A_{t(\text{dB})} = A_o - (G_t + G_r) + A_1$

$$A_o = 141,69 \text{ dB (ver capítulo 3.2.)}$$

$$A_1 = 4,8 \text{ dB (ver capítulo 3.2.)}$$

$$\text{y } G_t = G_r = 38,97 \text{ dB}$$

Luego:

$$A_t = 141,69 - (38,97 + 38,97) + 4,8 = 68,55 \text{ dB}$$

Luego la potencia de señal útil de recepción P_s es igual:

$$P_s = 30 - 68,55 = - 38,55 \text{ dBm}$$

TRAMO DE RADIO: CERRO DE ANIMAS - SALINAS (R₁ - T₃)

Cálculo de la Ganancia de la Antena

Considerando la distancia de 64,50 kilómetros del Tramo, tomamos un diámetro de antena de 3 metros.

Aplicando la fórmula (ecuación 3.3.b)

$$G_{(dB)} = 10 \log. \left[\eta \left(\frac{D \pi}{\lambda} \right)^2 \right] \quad (dB)$$

En donde:

$$D = 3 \text{ metros}$$

$$\eta = 0,5$$

$$\lambda = \frac{3, \times 10^8 \text{ m/seg.}}{4 \times 10^9 \text{ Hz}} = 0,075 \text{ metros}$$

Reemplazando tendremos:

$$G_{(dB)} = 10 \log. \left[0,5 \left(\frac{3 \times \pi}{7,5 \times 10^{-2}} \right)^2 \right] = 38,97 \text{ dB}$$

Cálculo de la potencia de señal útil de recepción (P_s)

Asumiendo que la potencia de transmisión (P_t) sea de 1 watio (30 dBm)
y aplicando la fórmula ecuación 3.1.a tenemos:

$$P_s(\text{dBm}) = P_t(\text{dBm}) - A_t(\text{dB})$$

En donde: $A_{t(\text{dB})} = A_o - (G_t + G_r) + A_1$

$$A_o = 140,63 \text{ dB (ver capítulo 3.2.)}$$

$$A_1 = 5,70 \text{ dB (ver capítulo 3.2.)}$$

$$\text{y } G_t = G_r = 38,97 \text{ dB}$$

Luego:

$$A_t = 140,63 - (38,97 + 38,97) + 5,70 = 68,39 \text{ dB}$$

Luego la potencia de señal útil de recepción P_s es igual:

$$P_s = 30 - 68,39 = - 38,39 \text{ dBm}$$

C A P I T U L O N º 4

- 4 Estimación de la calidad del enlace de microondas
- 4.1. Generalidades
- 4.2. Valor objetivo del ruido
- 4.3. Determinación del cociente señal-ruido en los receptores para un tiempo sin desvanecimiento
- 4.4. Distribución de los ruidos y elaboración del balance de ruido en el radio-enlace y en un canal superior
- 4.5. Nivel de umbral y diagrama de niveles.

4.1. GENERALIDADES

Uno de los factores de mayor importancia en un radio-enlace telefónico por microondas lo constituye el ruido. En el presente capítulo se calcula y se explica el comportamiento del ruido en el sistema.

4.2. VALOR OBJETIVO DEL RUIDO

El valor objetivo del ruido para los enlaces telefónicos es determinando por la Recomendación 395-1 del CCIR en la siguiente forma.

La distancia total de la ruta EL CARMEN - CERRO DE ANIMAS - SALINAS es de 137,35 kms.

El valor objetivo del ruido es $3\text{pw/Lkm} + 200$ (pw)

$$3 \times 137,35 + 200 = 612,05 \text{ pw}$$

Los valores de potencia de ruido que se calculan no deben sobrepasar los límites del valor objetivo de ruido.

4.3. DETERMINACION DEL COCIENTE SEÑAL-RUIDO EN LOS RECEPTORES
PARA UN TIEMPO SIN DESVANECIMIENTO

El ruido térmico se obtiene como la suma del ruido térmico FM en función del nivel de entrada al receptor más el ruido residual del propio equipo.

El ruido térmico de FM en función del nivel de entrada al receptor puede obtenerse a partir de la siguiente fórmula:

$$s/r = 10 \log. \frac{P_s}{FKTB_o} + 20 \log. \frac{f_d}{f_m} + X_1 + X_2 \quad \text{ecuación 4.3.c.}$$

f_d = 2.54K

(ver apéndice # 7)

En donde:

$P_r = F K T B_o$ Potencia de ruido para el ancho del canal telefónico.

F = Constante de ruido a la entrada del receptor . El valor de la constante de ruido para este diseño es de 9,5 dB.

K = Constante de Boltzman $1,38 \times 10^{-23}$ Joule/°K.

T = 300°K temperatura ambiente en grados Kelvin.

B_o = Ancho del canal 3.100 Hz para telefonía.†

Expresando el producto $K T B_o$ en nivel absoluto tenemos:

$$K T B_o = 1,38 \times 10^{-23} \frac{\text{Joule}}{^\circ\text{K}} \times 300 \text{ } ^\circ\text{K} \times 3.100 \text{ Hz}$$

$$1 \text{ Joule} = \frac{1 \text{ watio}}{1 \text{ Hz}}$$

$$\text{Luego, } K T B_o = 1,283 \times 10^{-23} \text{ watos o } 1,283 \times 10^{-14} \text{ mw}$$

Correspondiente a un nivel absoluto de:

$$10 \log. (1,283 \times 10^{-14}) \text{ dBm} = -138,92 \text{ dBm}$$

$$\text{Luego: } P_r = -138,92 \text{ dBm} + 9,5 \text{ dB} = -129,42 \text{ dB.}$$

La potencia de ruido mejorada debido a la modulación de frecuencia la expresamos como $(f_d / f_m)^2$ en donde:

f_d = Desviación de frecuencia producida por la potencia de referencia (1 mw en el nivel relativo 0 = OdBmO)

f_m = Frecuencia de la modulante o información.

Para nuestros cálculos tenemos:

$$f_d = 200 \text{ Khz (ver tabla \# 4.3.a al final del capítulo)}$$

$f_m = 1.248 \text{ KHz}$ según Recomendación del CCIR # 399

Donde:

$$20 \log. \frac{f_d}{f_m} = 20 \log. \frac{200 \text{ KHz}}{1.248 \text{ KHz}} = - 15,90 \text{ dB.}$$

Según la Recomendación 404-1 se indica para la desviación de frecuencia el valor efectivo el cual solamente corresponde por razones de preénfasis al canal neutral. Vale aclarar que para todos los equipos cuya modulación es a frecuencia, se emplea una red de preénfasis para obtener una relación s/r constante en el ancho de banda. Sin preénfasis es decir con desviación de frecuencia constante en toda la banda, se tuviera una relación s/r inferior en los canales superiores.

Para obtener una relación s/r constante en todos los canales se intercala a la etapa de modulación una red de preénfasis, la cual provoca desviaciones menores en la parte inferior al punto neutral y permite desviaciones mayores más allá de ese punto.

La Recomendación 404 , nos da una tabla de valores de la desviación por canal (ver tabla # 4.3.a al final del capítulo).

Cuando se usan los circuitos preénfasis de acuerdo con el CCIR Recomenu

dación # 275, se lo especifica por medio del valor X_2 .

$$X_2 = 5 - 10 \log. \left[1 + \frac{6,90}{1 + \frac{5,25}{\left(\frac{f_r}{f_m} - \frac{f_m}{f_r}\right)^2}} \right]$$

Donde f_r es la frecuencia de resonancia de la red de preénfasis.

El valor f_r lo podemos encontrar en la tabla # 4.3.b al final del capítulo.

Para nuestros cálculos tenemos:

$$f_r = 1.625 \text{ Khz}$$

$$f_m = 1.248 \text{ Khz según Recomendación del CCIR # 399}$$

Luego:

$$X_2 = 5 - 10 \log. \left[1 + \frac{6,90}{1 + \frac{5,25}{\left(\frac{1.625}{1.248} - \frac{1.248}{1.625}\right)^2}} \right]$$

$$X_2 = 5 - 10 \log. 1,36 = 3,67 \text{ dB}$$

Basado en los valores antes calculados, reemplazando en la ecuación 4.3.c. tenemos:

$$s/r = 119,69 + P_s \quad (\text{ecuación 4.3.d.})$$

Es decir, el cociente señal-ruido expresado en función de la potencia de señal útil a la entrada del receptor.

TRAMO DE RADIO: EL CARMEN - CERRO DE ANIMAS (T₁ - R₁)

Cálculo del Cociente Señal-Ruido

Partiendo de la ecuación 4.3.d

$$s/r = 119,69 + P_s \quad (\text{dB})$$

En donde: $P_s = -38,55 \text{ dBm}$ (ver capítulo # 3.3.)

Reemplazando tenemos:

$$s/r = 119,69 + (-38,55) = 81,14 \text{ dB}$$

Expresando el cociente señal ruido en pico watio (10^{-12} watos)

Como el nivel de la señal se supone cero dB las potencias de ruido son negativas y tienen como valor absoluto el de la relación señal ruido.

$$P_{(\text{pw})} = \text{antlog.} \frac{-81,14 + 90}{10} = 7,76 \text{ pico watos}$$

TRAMO DE RADIO: CERRO DE ANIMAS - SALINAS (R₁ - T₃)

Cálculo del Cociente Señal-Ruido

Partiendo de la ecuación 4.3.d

$$s/r = 119,69 + P_s \quad (\text{dB})$$

En donde: $P_s = -38,39 \text{ dBm}$ (ver capítulo # 3.3.)

Reemplazando tenemos:

$$s/r = 119,69 + (-38,39) = 81,30 \text{ dB}$$

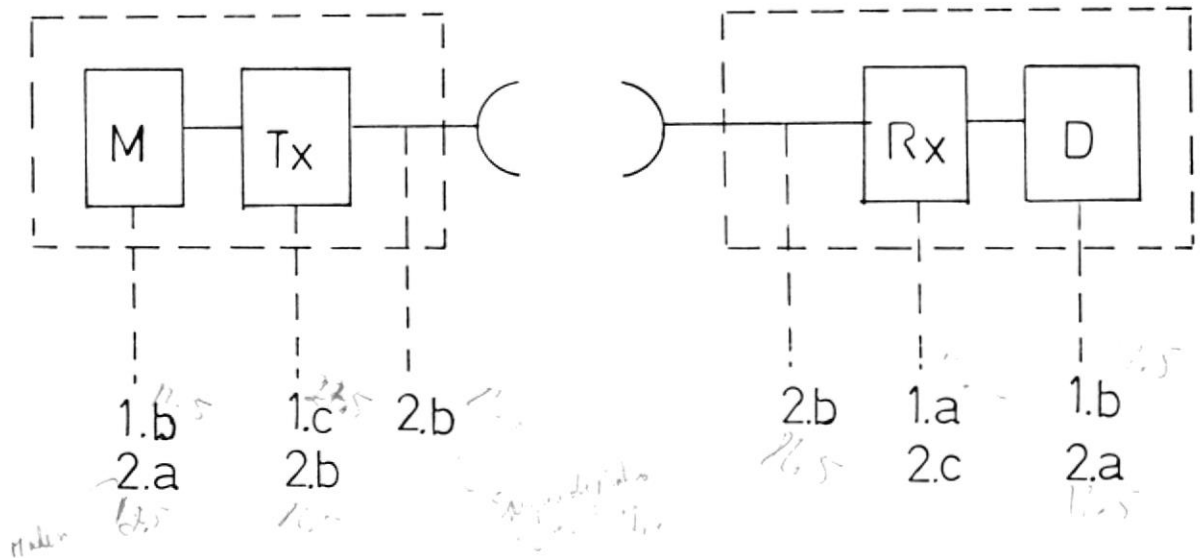
Expresando el ruido térmico en pico watio (10^{-12} pico watio)

Como el nivel de la señal se supone cero dB las potencias de ruido son negativas y tienen como valor absoluto el de la relación señal ruido.

$$P \text{ (pw)} = \text{antlg} \frac{-81,30 + 90}{10} = 7,41 \text{ pico watos}$$

4.4. DISTRIBUCION DE LOS RUIDOS Y ELABORACION DEL BALANCE DE RUIDO
EN EL RADIO ENLACE Y EN UN CANAL SUPERIOR

Para comprender sistemáticamente los ruidos que sirven de criterio en la evaluación de la calidad de un enlace de comunicación, será conveniente distribuirlos en la forma siguiente.



RUIDO BASICO.- (los cuales son térmicos)

1 a Ruido térmico del receptor dependiente de la atenuación en el Tramo.

1 b Ruido básico de los equipos de modulación.

1 c Ruido básico de los equipos de radio.

RUIDO DE INTERMODULACION

Este tipo de ruido depende del volumen aplicado por no linealidades en los equipos y reflexiones multiplex en las instalaciones de las antenas.

- 2 a En los equipos MODEN
- 2 b En los equipos de radio y las instalaciones de la antenas.

En la tabla N° 4.4.a hemos detallados los resultados mencionados en el párrafo 4.3. asi como también los parámetros calculados en el capítulo 3.

T A B L A # 4.4.a

TRAMO	EL CARMEN CERRO DE ANIMAS	CERRO DE ANIMAS SALINAS	SUMA
Distancia (kms)	72,85	64,50	137,35
Atenuación de espacio libre A_0 (dB)	141,69	140,63	
Atenuación en las líneas de transmisión A_1 (dB)	4,8 <i>L₁</i>	5,7 <i>L₂</i>	
Díametro de las antenas (mts)	3/3	3/3	
Ganacias (dB)	38,97	38,97	
de antenas (dB)	38,97	38,97	
Potencia de señal útil en recepción P_s (dB)	-38,55	-38,39	
Atenuación total en la transmisión (dB)	68,55	68,39	
Ruido térmico <i>√(k T B)</i> (dB)	81,14	81,30	
de los receptores pw	7,76	7,41	15,17

2 RUIDO DE INTERMODULACION

2.1	Modem	1 x 12,50	12,50	
2.2	Equipos IF y RF	2 x 41,25	82,50	
2.3	Suma de los dos			95,00
3	Ruido total inducido en los dos tramos (5pw/tramo)			10,00
4	Ruido total en tiempo sin desvanecimiento			<u>160,17</u> =====
5	Ruido total permitido (CCIR Recomendación 395-1) 3 pw/km x 137,35 + 200 pw			<u>612,05</u> =====
6	Aumento permitido para el ruido térmico en el receptor (612,05 pw - 160,17 pw)			<u>451,88</u> =====
7	Reserva mínima para tiempo de desvanecimiento			

$$10 \log \frac{451,88}{15,17} = 14,74$$

El margen de desvanecimiento de 14,74 dB indica la reserva para desvanecimiento en cada uno de los tramos. Este valor indica una buena reserva por que es raro que al mismo instante haya en más de un solo tramo un desvanecimiento fuerte.

En el esquema 4.4.c detallamos el balance de ruido, considerando un desvanecimiento de 5 dB para cada tramo.

De la ecuación 4.3.d especificamos el cociente señal-ruido en

donde $s/r = 119,69 + P_s$, la cantidad 119,69 es un valor constante y P_s es la potencia de señal útil a la entrada del receptor.

Para el cálculo relacionado a la suma de los ruidos en los dos tramos, consideramos la potencia de ruido térmico para un tiempo con desvanecimiento. En lo que se refiere al ruido para un modem y equipos IF y RF tomamos los valores indicados en la tabla 4.4.b.

La potencia de ruido inducido se toma igualmente 5 pw/tramo.

El valor calculado y definido como reserva de planificación se lo utiliza para desvanecimientos más profundos y como reserva de ruido o envejecimientos de los equipos.

4.5. NIVEL DE UMBRAL Y DIAGRAMA DE NIVELES

En cuanto más larga la distancia entre repetidoras, tanto menor resulta el costo del sistema de radio-enlace.

Uno de los factores que marcan el límite, es el nivel de umbral. La relación señal-ruido en el caso del sistema FM está en proporción inversa a la intensidad de campo de recepción pero cuando la intensidad de campo eléctrico entrante baja por debajo de un determi



S/R

nado valor, el ruido se aumenta, perdiendo el sistema sus ventajas inherentes.

Este nivel de umbral se expresa con el valor que se obtiene cuando el ruido térmico total contenido en la banda antes del discriminador se iguala al valor pico de la onda entrante, y su presentación y cálculo es como sigue:

Para un ancho de banda de $B_{IF} = 20$ Mhz y una figura de ruido $F = 9,5$ la potencia de ruido a la entrada del receptor es:

$$P_R = 9,5 \times K \times T_O \times B_{IF}$$

En donde:

$$K = 1,38 \times 10^{-23} \frac{\text{Joule}}{^\circ\text{K}} \quad (1 \text{ Joule} = 1 \text{ watio/Hz})$$

$$T_O = 300 \text{ } ^\circ\text{K} \quad \text{y} \quad B_{IF} = 20 \text{ Mhz}$$

$$K \times T_O \times B = 1,38 \times 10^{-23} \frac{\text{watio}}{^\circ\text{K Hz}} \times 300^\circ\text{K} \times 20 \times 10^6 \text{ Hz}$$

$$= 8,28 \times 10^{-14}$$

$$P = 10 \log. \left(\frac{8,28 \times 10^{-14} \text{ watio}}{1 \text{ watio}} \right) + 9,5 \text{ dB}$$

$$= - 121,32 \text{ dB}$$

El nivel de umbral es encontrado en conexión con las pérdidas del trayecto, en donde la potencia de señal útil en la entrada del receptor es tan solo mayor en 10 dB que la potencia del ruido.

Es decir el nivel de umbral es 111,32 dB (= 121,32 -10 dB) asumiendo 1 watio (30 dBm) de potencia transmitida.

En el diagrama de niveles esquema 4.5.a se indica la línea de umbral en -81,32 dBm (111,32 - 30) y las curvas de atenuación en cada tramo hasta que exista una interrupción.

La reserva para la interrupción o margen sobre el umbral se obtiene de la diferencia del nivel de umbral con la atenuación total en cada A_t .

TRAMO: EL CARMEN - CERRO DE ANIMAS ($T_1 - R_1$)

$$111,32 \text{ dB} - 68,55 \text{ dB} = \underline{\underline{42,77 \text{ dB}}}$$

TRAMO: CERRO DE ANIMAS - SALINAS ($R_1 - T_3$)

$$111,32 \text{ dB} - 68,39 \text{ dB} = \underline{\underline{42,93 \text{ dB}}}$$

T A B L A # 4.3.a

MAXIMO NUMERO DE CANALES	VALOR R.M.s. DE DESVIACION POR CANAL fd (khz)
12	35
24	35
60	50, 100, 200
120	50, 100, 200
300	200
600	200
960	200
1.260	140, 200
1.800	140
2.700	140

T A B L A # 4.3.b

MAXIMO NUMERO DE CANALES	fr (khz)
24	135
60	375
120	690
300	1.625
600	3.325
960	5.325
1.260	7.045
1.800	10.225
2.700	15.485

T A B L A # 4.4.b

SISTEM	RUIDOS BASICOS PARA UN EQUIPO IF-RF (pw)	RUIDOS BASICOS PARA UN MODEM (pw)	RUIDOS DE INTERNO EQUIPO IF+RF (pw)	RUIDO DE INTERNO MODEM (pw)
FM 14 (24) 400	28,75	-----	86,25	-----
FM 12 (24) 800	31,75	-----	93,75	-----
FM 960 / 1,989	15,50	45,00	46,50	45,00
FM 120 / 2.200	16,25	20,00	48,75	20,00
FM 300 / 4.000	13,75	12,50	41,25	12,50
FM 960 / 6.200	15,50	45,00	46,50	45,00
FM 960 / 6.200	16,75	28,00	50,25	28,00
FM 1.800 / 6.200	16,25	30,50	48,75	30,50
FM 120 / 7,200	25,00	-----	75,00	-----
FM 120 / 7.500	25,00	-----	75,00	-----

Ver Anexo A.4.4.6

ESQUEMA # 4.4.C

TRAMOS DE RADIO	LONGITUD (kms)	DIAMETRO DE ANTENA (m)	GANANCIAS DE LAS ANTENAS (dB)	PERDIDAS DE LAS LINEAS DE TRANSMISION (dB)	ATENUACION DE ESPACIO LIBRE (dB)	POTENCIA DE SEÑAL UTIL EN RECEPCION (dB)	VALOR CONSTANTE	SIM DESVANECIMIENTO		CON DESVANECIMIENTO		
								Relación del ruido termico del receptor s/r dBm	Potencia de ruido termico del receptor pw	Relación del ruido termico del receptor s/r 5dBm	Potencia de ruido termico del receptor pw	
1	2	3	4	5	6	7	8	9	10	11	12	13
1	EL CARMEN - CERRO DE ANIMAS	72,85	3/3	38,97	4,8	141,69	- 38,55	119,69	81,14	7,76	76,14	24,55
2	CERRO DE ANIMAS - SALINAS	64,50	3/3	38,97	5,7	140,63	- 38,39	119,69	81,30	7,41	76,30	23,44
TOTAL									P _{termico} = 15,17		P _{termico} = 47,99	

A) Suma de los ruidos en la sección EL CARMEN - SALINAS

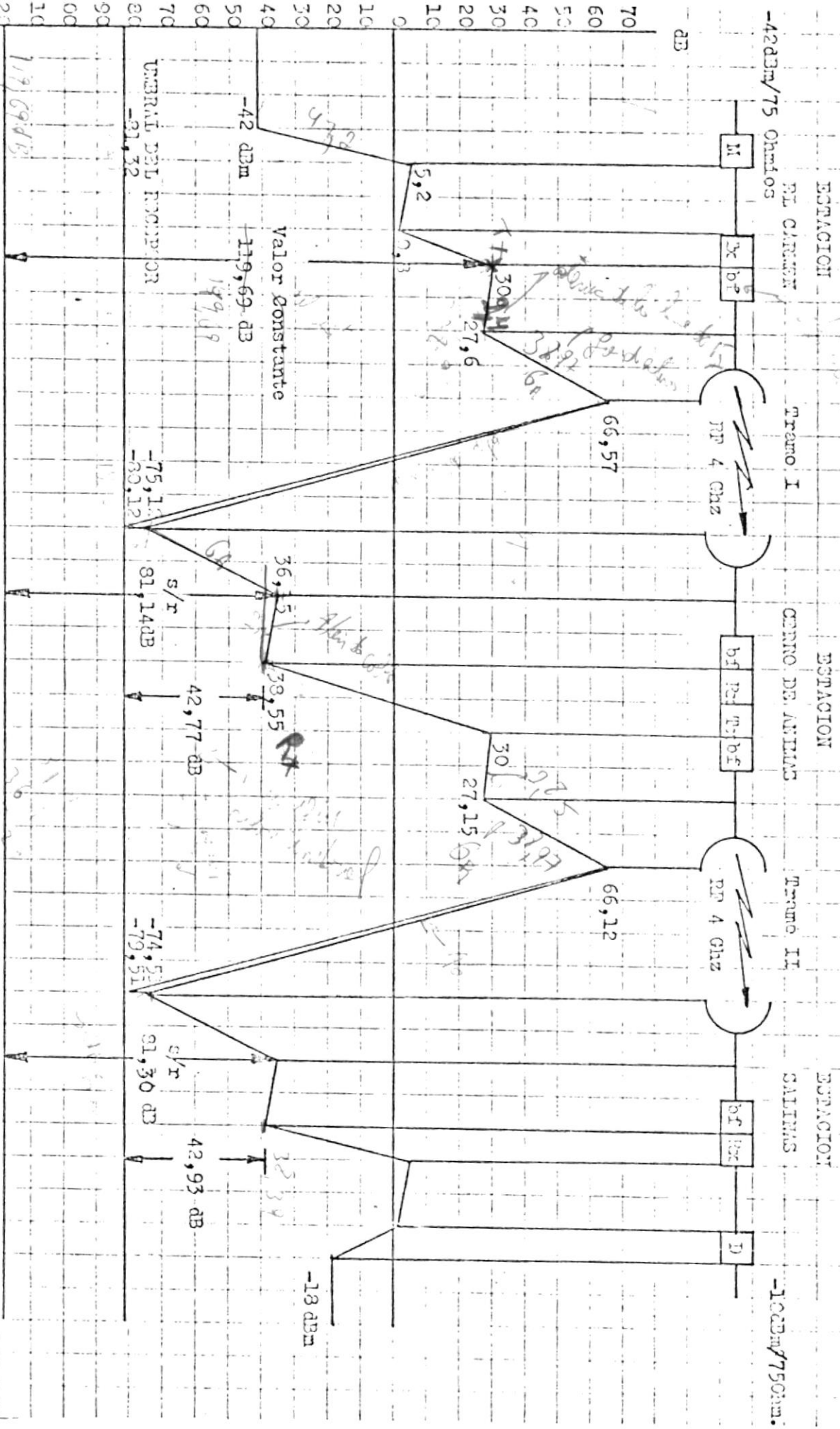
$$P_{R \text{ total}} = P_{\text{Term } 5} + P_{R \text{ Modem}}^* + \eta P_{R \text{ IE/RE}}^* + \eta P_{R \text{ Ind.}} = 47,94 + 25 + 2 \times 55 + 2 \times 5 = 192,99 \text{ pw}$$

B) Potencia permitida según C.C.I.R. Recomendación # 395 - 1

$$P_{R \text{ total}} = 3 \times 137,35 + 200 \quad P_{R \text{ total}} = 612,05 \text{ pw}$$

C) Reserva de planificación 612,05 - 192,99 = 419,06 pw

* Ver Tabla 4.4.6



ESQUEMA 4.5.a Diagrama de niveles de un enlace de microondas FM 300/4.000 para el canal superior

A P E N D I C E N º 1

PROPAGACION .- GENERALIDADES

Existen varios medios o mecanismos en los cuales las ondas de radio pueden propagarse desde una antena transmisora hasta una antena receptora.

Se los designa como onda ionosférica, onda troposférica, onda terrestre y onda espacial.

La troposféra es la porción de la atmósfera terrestre de un espesor de alrededor de 16 kilómetros, adyacente a la superficie terrestre.

Una pequeña discontinuidad en el índice de refracción de la tropósfera, es capaz de producir pequeñas reflexiones de las ondas de radio en frecuencia muy elevadas. Estas reflexiones troposférica son de importancia práctica en frecuencia superiores a 30 Mhz.

La propagación de la onda espacial es de singular importancia en frecuencias superiores a los 30 Mhz. Para estas frecuencias muy elevadas, la ionósfera (que es una región ionizada que existe en la alta atmósfera alrededor de 60 kilómetros de altura que tiene la propiedad de refractar las ondas de radio devolviéndolas hacia la tierra

en muchas circunstancias) no devuelve nada hacia la tierra y la atenuación de la onda terrestre es extremadamente rápida.

La propagación para cualquier distancia importante en estas frecuencias depende de la onda espacial.

La onda espacial consiste en dos componentes: un rayo directo de antena transmisora a la receptora y un rayo que es reflejado por la superficie de la tierra u objetos cercanos.

La onda espacial es el mecanismo importante en las transmisiones a la frecuencia de microondas.

Las ondas radioeléctricas de frecuencia correspondiente a microondas poseen muchas de las características similares a las ondas de luz. Desde que la óptica nos ha hecho conocer el comportamiento de dichas ondas-similares en muchas de sus propiedades a las microondas— el uso de ciertos principios de óptica facilitan la descripción de la propagación de las ondas radioeléctricas en esas frecuencias.

Los principios más importantes son los de refracción, reflexión y difracción. Individualmente o en combinaciones, dichas propiedades pueden afectar en alto grado las señales recibidas y por lo tanto influ

yen sobre la seguridad de funcionamiento de los sistemas.

REFRACCION NORMAL.- Puesto que las ondas radioelétricas se desplazan con distintas velocidades al atravesar medios de diferentes constantes dieléctricas, esto determina una refracción angular en la tropósfera o atmósfera inferior.

En el espacio libre la velocidad de las ondas radioelétricas es máxima, pero en la atmósfera, donde la constante dieléctrica es algo mas elevada por la presencia de moléculas de gas y de agua, las ondas radioelétricas se propagan más lentamente. En lo que se podría llamar una atmósfera normal, la presión, la temperatura y la humedad o contenido de vapor de agua disminuyen linealmente a medida que aumenta la altura. La constante dieléctrica, como parámetro único que combina el efecto resultante de aquellas propiedades metereológicas, también disminuyen con la altura.

Ahora bien, desde que las ondas radioelétricas viajan con mayor rapidez por un medio de menor constante dieléctrica, la parte superior de un frente de onda avanza más rapido que la parte inferior, que lo hace por una región de aire más denso. Esto provoca una deflección de la onda, hacia abajo.



Donde el cambio en la densidad de aire es gradual, es decir en una atmósfera uniforme, esa curvatura o refracción de la onda radioeléctrica puede ser continua de manera que el haz se curva suavemente, alejándose de la atmósfera menos densa, llevado hacia la parte más densa. Esto hace que el haz tienda en general a seguir la curvatura de la tierra.

Podría decirse, entonces, que en los casos más usuales de la propagación de microondas el radio de la tierra parece mayor que el verdadero, o sea que la tierra parece más plana por la tendencia del haz a desviarse hacia abajo en la atmósfera y seguir la superficie de la tierra. La relación entre el valor del radio aparente de la tierra y el verdadero valor se denomina "factor de radio efectivo de la tierra" y se designa con el símbolo K . Bajo condiciones atmosféricas normales como las ponderadas previamente, en que la gradiente refractiva es uniforme, K vale aproximadamente $4/3$.

Veamos este cálculo de $K = 4/3$.

El índice de refracción de la atmósfera, varía con la constante dieléctrica que, a su vez, depende de la presión, de

de la temperatura y de la humedad, como lo indica la expresión:

$$N = (n - 1) \cdot 10^6 = \frac{77.6}{T} (p + 4810 \frac{e}{T})$$

donde n = índice de refracción de la atmósfera
 p = presión atmosférica en milibar
 e = presión de vapor en milibar
 T = temperatura absoluta en grados Kelvin
 N = índice de refracción modificado

El valor de n excede de la unidad solo en unas pocas centenas de millonésimas, por lo cual conviene utilizar el índice de refracción modificado N. Esto se ilustra en el siguiente ejemplo donde T= 15°K ; p= 1.013 mb y e= 10,2 mb

$$N = (n-1) \cdot 10^6 = \frac{77,6 (1013)}{15 + 273} + \frac{3,75 \cdot 10^5 (10,2)}{(15 + 273)^2} = 273 + 46 = 319$$

en donde n= 1.000319 que evidencia la razón por la cual se prefiere utilizar N.

Por razones de conveniencia, se utiliza a menudo el término M.

$$M = (n-1 + \frac{h}{a}) \cdot 10^6$$

que es el exceso de índice de refracción modificado con relación a la unidad, en unidades de una millonésima (denominadas unidades M). Los valores M para la atmósfera oscilan entre 200 y 500.

Utilizando $6,37 \cdot 10^6$ metros como radio de la tierra, podemos determinar en que proporción aumenta M con la altura. Esto es, a causa del término h/a . Esta resulta ser de $(1/a) \cdot 10^6 = 0,157$ unidades de M por metro.

Se ha obtenido gran número de datos experimentales sobre la variación del índice de refracción con la altura y se ha hallado el siguiente valor medio:

$$\frac{dn}{dh} = 10^6 = - \frac{1}{4} \cdot \frac{1}{a} \cdot 10^6 = - 0,039 \text{ Unidades M por metro}$$

A menudo es conveniente ilustrar el trayecto del rayo por medio de su curvatura. La curvatura verdadera de un rayo está dada por $1/e$ en donde e es el radio de curvatura, relacionado con el gradiente de n por:

$$\frac{1}{e} = - \frac{dn}{dh}$$

Sin embargo, la superficie de la tierra también es curva. La curvatura relativa de la tierra con relación al rayo es $(1/a) - (1/e)$, y podemos utilizar esta expresión para reemplazar la tierra por una tierra equivalente de radio Ka tal que podamos indicar el rayo por una línea recta.

El diagrama resultante debe conservar la misma diferencia de curvatura entre el rayo y la superficie de la tierra, de modo que:

$$\frac{1}{a} - \frac{1}{e} = \frac{1}{Ka}$$
$$K = \frac{1}{1 - a/e} = \frac{1}{1 + a \frac{dn}{dh}}$$

La así llamada "atmósfera normal" denominada a menudo "tierra 4/3" y representada por $K = 4/3$, se obtiene sustituyendo el valor medio de $\frac{dn}{dh}$.

$$K = \frac{1}{1 + a \frac{dn}{dh}} = \frac{1}{1 + a \left(\frac{-1}{4a}\right)} = \frac{1}{3/4} = \frac{4}{3}$$

El valor correspondiente para el caso de la luz es $7/6$.

En la práctica dicho valor de $4/3$ es solo un valor nominal

de K, usado comunmente para representar las condiciones habituales de un clima templado. En realidad, este valor normal de K puede variar de 1 a 2 según la región y puede fluctuar con las estaciones del año. Los valores más bajos corresponden a los climas más frios y secos y a las grandes alturas; los valores más altos corresponden a zonas más bajas o de mayor humedad.

La refracción sub-normal o inferior al valor normal de reflexión ocurre bajo ciertas condiciones meteorológicas que provocan un aumento práctico de la constante dieléctrica con el aumento de altura. Esta condición da por resultado una deflexión del haz de microondas hacia arriba. A veces se llama a este fenómeno de inversión del haz o "protuberancia de la tierra". La condición sub-normal de propagación puede existir cuando el enfriamiento nocturno de la tierra provoca la formación de la niebla baja, ya que la constante dieléctrica aumenta mucho menos por la presencia de gotas de agua que por el vapor de agua en el aire. Dicha constante dieléctrica bajo tales condiciones será más baja cerca del suelo que a mayores elevaciones, provocando así una desviación del haz hacia arriba.



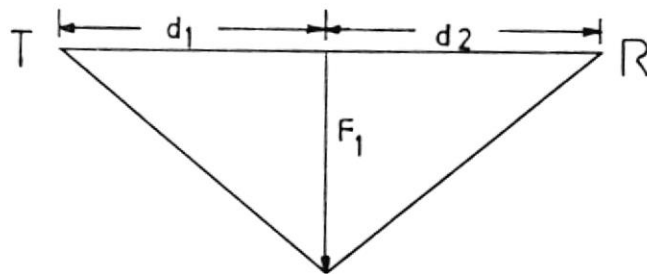
En nuestro estudio, en los dos tramos que tratamos los valores de K escogido se refieren a condiciones normales.

En cuanto a la difracción carece de mayor importancia en las frecuencias correspondientes a microondas. A frecuencias menores, en las "muy altas (VHF), el frente de onda tiende a difractarse alrededor de los obstáculos que encuentra en el trayecto, pero por arriba de unos 3.000 Mhz.

La proporción de energía difractada alrededor de un obstáculo es casi despreciable.

A P E N D I C E # 2

Cálculo para determinar el radio de la 1^a zona de Fresnel.
Cuando el rayo es reflejado en el borde de la primera zona de Fresnel el recorrido es $d_1 + d_2 + \frac{\lambda}{2}$



O sea

$$\begin{aligned}d_1 + d_2 + \frac{\lambda}{2} &= \sqrt{F_1^2 + d_1^2} + \sqrt{F_1^2 + d_2^2} \\ &= d_1 \sqrt{\frac{F_1^2}{d_1^2} + 1} + d_2 \sqrt{\frac{F_1^2}{d_2^2} + 1}\end{aligned}$$

Siendo

$$\frac{F_1^2}{d_1^2} \quad \text{y} \quad \frac{F_1^2}{d_2^2} \lll 1$$

Los radicales pueden ser expresados en serie aplicando

$$\sqrt{1 + x} \approx 1 + 1/2x \quad \text{Si } x \lll 1$$

$$\text{luego } d_1 \left(1 + \frac{1}{2} \frac{F_1^2}{d_1^2}\right) + d_2 \left(1 + \frac{1}{2} \frac{F_1^2}{d_2^2}\right) = d_1 + d_2 + \frac{\lambda}{2}$$

$$d_1 + \frac{F_1^2}{2d_1^2} + d_2 + \frac{F_1^2}{2d_2^2} - d_1 - d_2 = \frac{\lambda}{2}$$

$$\text{en donde } F_1 = \sqrt{\frac{d_1 \cdot d_2 \cdot \lambda}{d}}$$

$$\lambda = \frac{3 \cdot 10^8 \text{ m/seg.}}{f(\text{Ghz}) \cdot 10^9} = \frac{0,3 \text{ m/seg}}{f(\text{Ghz})}$$

d_1 = en kilómetros

d_2 = en kilómetros

d = en kilómetros

$$\text{O sea } F_1 = \sqrt{\frac{d_1 \cdot 10^3 \cdot d_2 \cdot 10^3 \cdot 0,3}{f(\text{Ghz}) \cdot 10^3 \cdot d}}$$

$$F_1 = 17,32 \sqrt{\frac{d_1 \cdot d_2}{f(\text{Ghz}) \cdot d}} \quad (\text{m})$$

Si el valor de la primera zona de Fresnel es conocido y se desea calcular la n^{th} zona de Fresnel, entonces

$$F_n = F_1 \sqrt{n}$$

O podemos calcular la zona de Fresnel directamente

$$F_n = 17,32 \sqrt{\frac{n \cdot d_1 \cdot d_2}{f \text{ (Ghz)} d}} \quad (m)$$

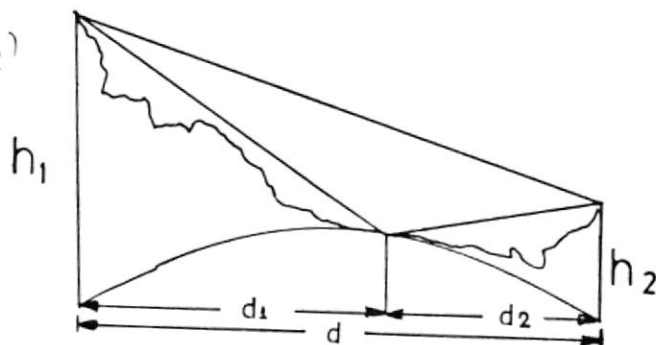
A P E N D I C E # 3

En orden de evitar un fuerte desvanecimiento o distorsión de la señal, el camino de radio debe ser seleccionado, tal que la principal onda reflejada sea obstruída tanto como sea posible. Es decir que se debe confirmar las condiciones geográficas en donde se encuentra localizado el punto de reflexión y determinar si se puede o no obstruir la reflexión de la onda.

La localización del punto de reflexión es obtenida por la introducción del parámetro \underline{b} que nos provee el nomógrafo de la figura # 2.3b. Primeramente los coeficientes \underline{c} y \underline{m} son calculados de las dimensiones conocidas en el tramo de radio, por la siguiente fórmula, en donde \underline{h} , \underline{d} y \underline{a} están en metros.

$$c = \frac{h_1 - h_2}{h_1 + h_2} \quad (h_1 > h_2)$$

$$m = \frac{d^2}{4.K.a(h_1+h_2)}$$



Luego, utilizando la figura # 2.3b el parámetro \underline{b} es deter-

minado. De esta manera las distancias a ambos lados del punto de reflexión d_1 y d_2 son obtenidas de las siguientes fórmulas:

$$d_1 = d/2 (1 + b)$$

$$d_2 = d/2 (1 - b)$$

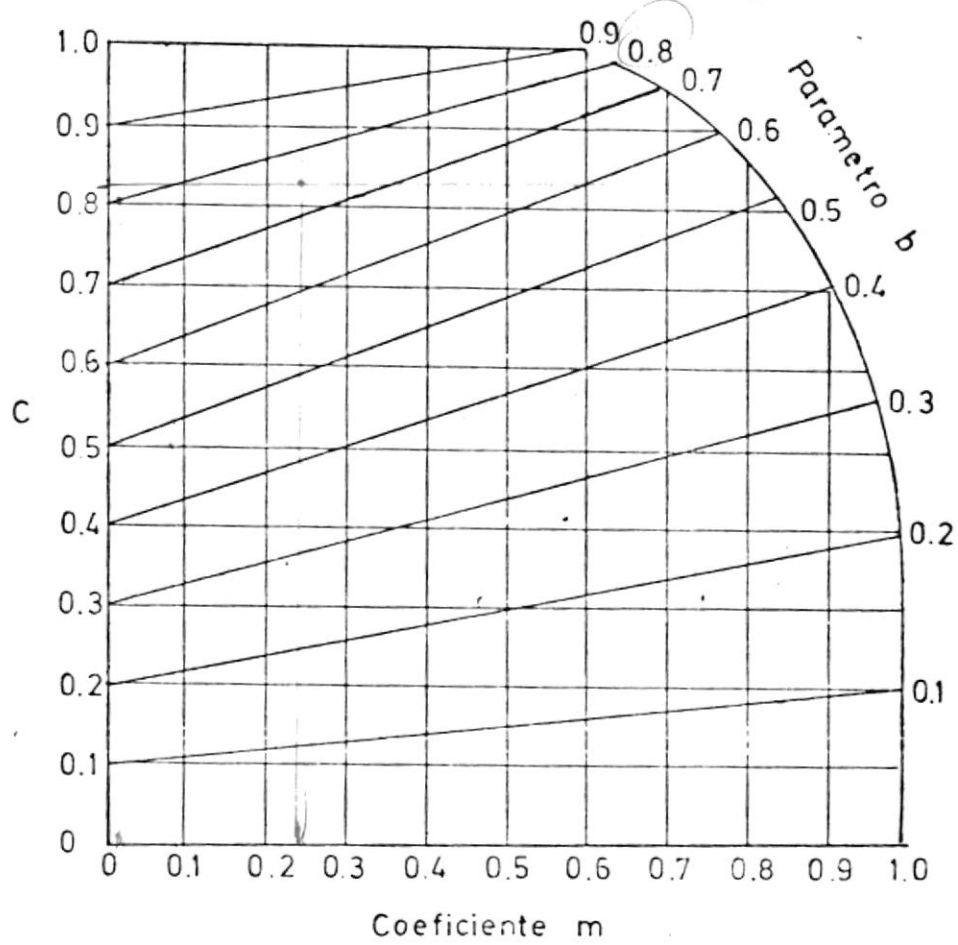


Figura 2.3.b Grafico para determinar b

A P E N D I C E # 4

Distancia entre el camino de propagación y la tierra.

En el gráfico figura 4.a, h_p es la altura sobre el nivel del mar en un punto M hacia el camino de propagación

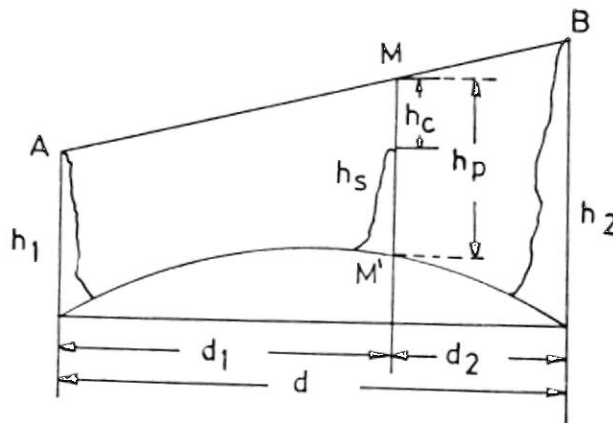


Figura # 4.a

h_p es:

$$h_p = \frac{h_1 d_2 + h_2 d_1}{d} - \frac{d_1 d_2}{2 K a}$$

de donde

$$h_c = h_p - h_s$$

APENDICE # 5

Tramo de radio

Atenuación del espacio libre cuando la primera zona de Fresnel está sin obstáculo.

$$A_{o(dB)} = 10 \log \frac{P_1}{P_2} \quad (1)$$

$$= 20 \log \frac{4 \pi d^2}{\lambda \epsilon_{is}} \quad (2)$$

- P_1 P_2 - Potencia de transmisión y recepción a la entrada y salida de las antenas
- λ - Longitud de onda
- d - distancia
- A - Area efectiva (apertura) de la antena
- ϵ_{is} - Ganancia de la antena relacionada al radiador isotrópico
 $\epsilon_{is} = 1$

Para uso y práctica se simplifica la fórmula 2 de la siguiente manera:

$$\begin{aligned} A_{o(dB)} &= 20 \log \frac{4 \pi d(\text{cms})^2 10^3}{\lambda (\text{cm}) 10^{-2}} \\ &= 20 \log 12,56 \cdot 10^5 + 20 \log \frac{d(\text{cms})}{(\text{cms})} \quad (3) \end{aligned}$$

Por razones que en la técnica de microondas se utiliza, modificamos la fórmula 3 de la siguiente manera:

$$\frac{1}{\lambda \text{ m } 10^2} = \frac{f(\text{Ghz}) \cdot 10^9}{3 \cdot 10^8 \text{ m/seg}}$$

$$\frac{1}{\lambda \text{ m}} = \frac{f(\text{Ghz})}{30}$$

en donde:

$$20 \log \frac{f(\text{Ghz})}{30} = -29,54 + 20 \log f(\text{Ghz})$$

$$A_0(\text{dB}) = 122 + 20 \log d(\text{kms}) - 29,54 + 20 \log f(\text{Ghz})$$

$$A_0(\text{dB}) = 92,4 + 20 \log d(\text{kms}) + 20 \log f(\text{Ghz})$$

APPENDICE # 6

<u>Wattios</u>	-	<u>dBm</u>
0,1	-	20,00
0,2	-	23,01
0,3	-	24,77
0,4	-	26,02
0,5	-	26,99
0,6	-	27,78
0,7	-	28,45
0,8	-	29,03
0,9	-	29,45
1,0	-	30,00
1,1	-	30,41
1,2	-	30,79
1,3	-	31,14
1,4	-	31,45
1,5	-	31,76
1,6	-	32,04
1,7	-	32,30
1,8	-	32,55
1,9	-	32,79
2,0	-	33,10
2,1	-	33,22
2,2	-	32,42
2,3	-	33,62
2,4	-	33,80
2,5	-	33,98
2,6	-	34,15
2,7	-	34,31
2,8	-	34,47
2,9	-	34,62
3,0	-	34,77
3,1	-	34,91
3,2	-	35,05
3,3	-	35,18
3,4	-	35,31
3,5	-	35,44
3,6	-	35,56
3,7	-	35,68
3,8	-	35,80
3,9	-	35,91
4,0	-	36,02
4,1	-	36,13
4,2	-	36,23
4,3	-	36,33
4,4	-	36,43
4,5	-	36,53
4,6	-	36,63
4,7	-	36,72
4,8	-	36,81
4,9	-	36,90
5,0	-	36,99

<u>Wattios</u>	-	<u>dBm</u>
5,1	-	37,07
5,2	-	37,16
5,3	-	37,24
5,4	-	37,32
5,5	-	37,40
5,6	-	37,48
5,7	-	37,56
5,8	-	37,63
5,9	-	37,70
6,0	-	37,78
6,1	-	37,85
6,2	-	37,92
6,3	-	37,99
6,4	-	38,06
6,5	-	38,13
6,6	-	38,19
6,7	-	38,26
6,8	-	38,32
6,9	-	38,39
7,0	-	38,45
7,1	-	38,51
7,2	-	38,57
7,3	-	38,63
7,4	-	38,69
7,5	-	38,75
7,6	-	38,81
7,7	-	38,86
7,8	-	38,92
7,9	-	38,95
8,0	-	39,03
8,1	-	39,08
8,2	-	39,14
8,3	-	39,19
8,4	-	39,24
8,5	-	39,29
8,6	-	39,34
8,7	-	39,39
8,8	-	39,44
8,9	-	39,49
9,0	-	39,54
9,1	-	39,59
9,2	-	39,64
9,3	-	39,68
9,4	-	39,73
9,5	-	39,78
9,6	-	39,82
9,7	-	39,87
9,8	-	39,91
9,9	-	39,96
10,0	-	40,00

A P E N D I C E # 7

Determinación del cociente señal-ruido en los receptores para un tiempo sin desvanecimiento.

Empleando modulación de frecuencia se obtiene para la señal de la inteligencia una desviación de la portadora de radio en relación al nivel a, así mismo una desviación relacionada al ruido térmico del receptor.

$$s/r = 10 \log. \frac{\widehat{\varphi}_s^2}{\widehat{\varphi}_r^2} \text{ (dB) ecuación 4.3.a}$$

s/r = relación señal ruido

$\widehat{\varphi}_s$ = desviación de fase en base del nivel de la señal de inteligencia.

$\widehat{\varphi}_r$ = desviación de fase en base del nivel de ruido

Por definición tenemos:

$$\widehat{\varphi}_s = \frac{fd}{fm}$$

fd = desviación de frecuencia producida por la potencia de referencia (1 mw en el nivel relativo 0 dBm0)



$\hat{\mathcal{E}}_r$ es obtenida del diagrama vectorial (figura 4.3.1.) , en donde el vector $\hat{\mathcal{E}}_r$ que representa al voltaje de ruido tiene un máximo campo de desviación de fase no requerida, en su posición es superpuesta al vector que representa la portadora (señal útil) en la que balancéa en sincronismo con las variaciones útil de fase.

La fórmula:
$$\frac{|\hat{V}_r|}{|\hat{V}_s|} = \text{Tangente } \mathcal{E}_r \cong \hat{\mathcal{E}}_r$$

Es válida cuando:
$$|V_s| \gg |V_r|$$

Se puede utilizar los valores efectivos de las tensiones sin cambiar las proporciones del diagrama.

$$\frac{\sqrt{P_r}}{\sqrt{P_s}} = \hat{\mathcal{E}}_r$$

$$\frac{1}{\mathcal{E}_r} = \frac{\sqrt{P_s}}{\sqrt{P_r}} \quad (\text{ecuación 4.3.b.})$$

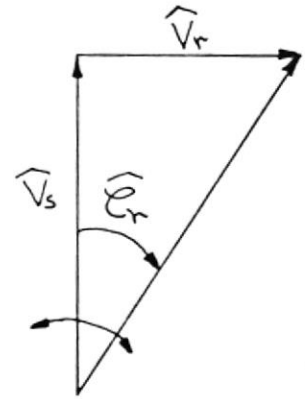


figura 4.3.1.

Reemplazando la ecuación 4.3.b en la ecuación 4.3.a tenemos:

$$s/r = 10 \log. \frac{P_s \cdot \widehat{G}_s}{P_r} \quad (\text{dB})$$

En donde:

P_s = Potencia de señal útil a la entrada del receptor

P = Potencia de ruido para el ancho del canal telefónico

= $F \times K \times T \times B_o$ de donde:

F = Constante de ruido a la entrada del receptor

K = Constante de Boltzman $1,38 \times 10^{-23}$ Joule/°K

T = Temperatura en grados Kelvin

B_o = Ancho dle canal telefónico

$$\widehat{G}_s^2 = \left(\frac{f_d}{f_m} \right)^2$$

Reemplazando tenemos:

$$s/r = 10 \log. \frac{P_s}{F \times K \times T \times B_o} \left(\frac{f_d}{f_m} \right)^2 \quad (\text{dB})$$

$$s/r = 10 \log. \frac{P_s}{F \times K \times T \times B_o} + 20 \log. \left(\frac{f_d}{f_m} \right) + X_1 + X_2$$

- 105 -
B I B L I O G R A F I A

- 1.- Microwave Communication.- Edited by Shigeru Yonezawa second edition.
- 2.- Microwave System Design.- How to Plan and Design Microwave Systems. Supervised by Hiroji Kurokawa, written by Takashi Matsumoto.
- 3.- Planning and Engineering of Radio Relay Links by Helmut Brodhage and Wilhelm Hornmuth 7th edition.
- 4.- Radio Relay Systems edited by Standar Elektrik Loreng AG, Stuttgart an ITT Associate.
- 5.- Transmission Systems.- by M.T. Hills and B.G. Evans
- 6.- Microwave Communication Engineering.- Radio Propagation and Site selection by Nippon Telegraph and Telephone Public Corporation.
- 7.- Frequency Planning for Radio Relay Networks.- L.M. Ericsson.
- 8.- Engineering Considerations for Microwave Communications Systems. G.T.E. Lenkurt Incorporated.
- 9.- Propagation. Appendix to Section B.IV 3 of the Handbook. Economic and Technical aspects of choice of transmission Systems. Published by U.I.T.
- 10.- Recomendaciones del C.C.I.R.
- 11.- Microwave Communication Engineering Practical Microwave System Design by Nippon Telegraph and Telephone Public Corporation.